

Program EVALPLOT  
(Version 2018-1)

by

Dermott E. Cullen  
(Present Contact Information)

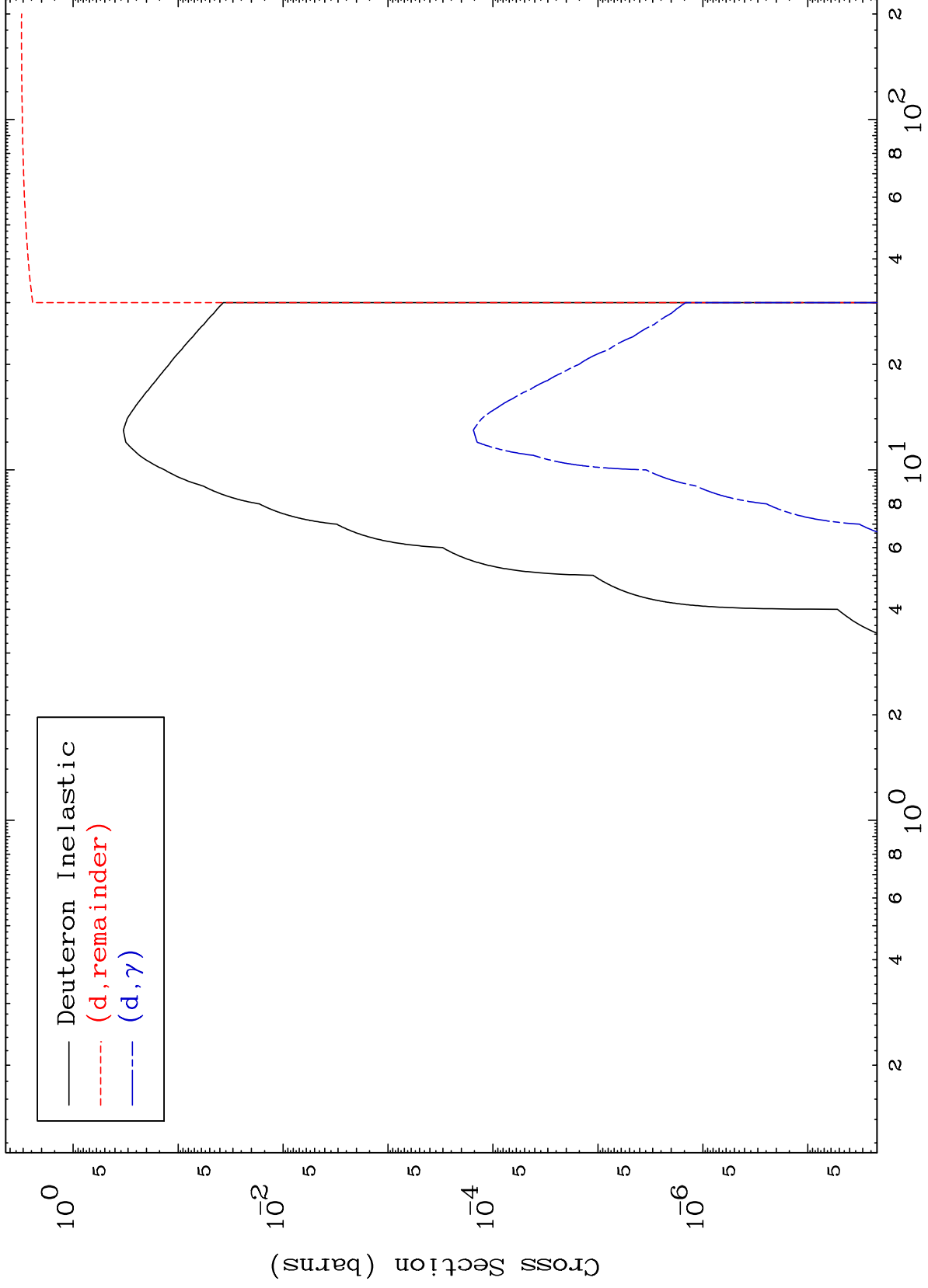
Dermott E. Cullen  
1466 Hudson Way  
Livermore, CA 94550  
U.S.A.

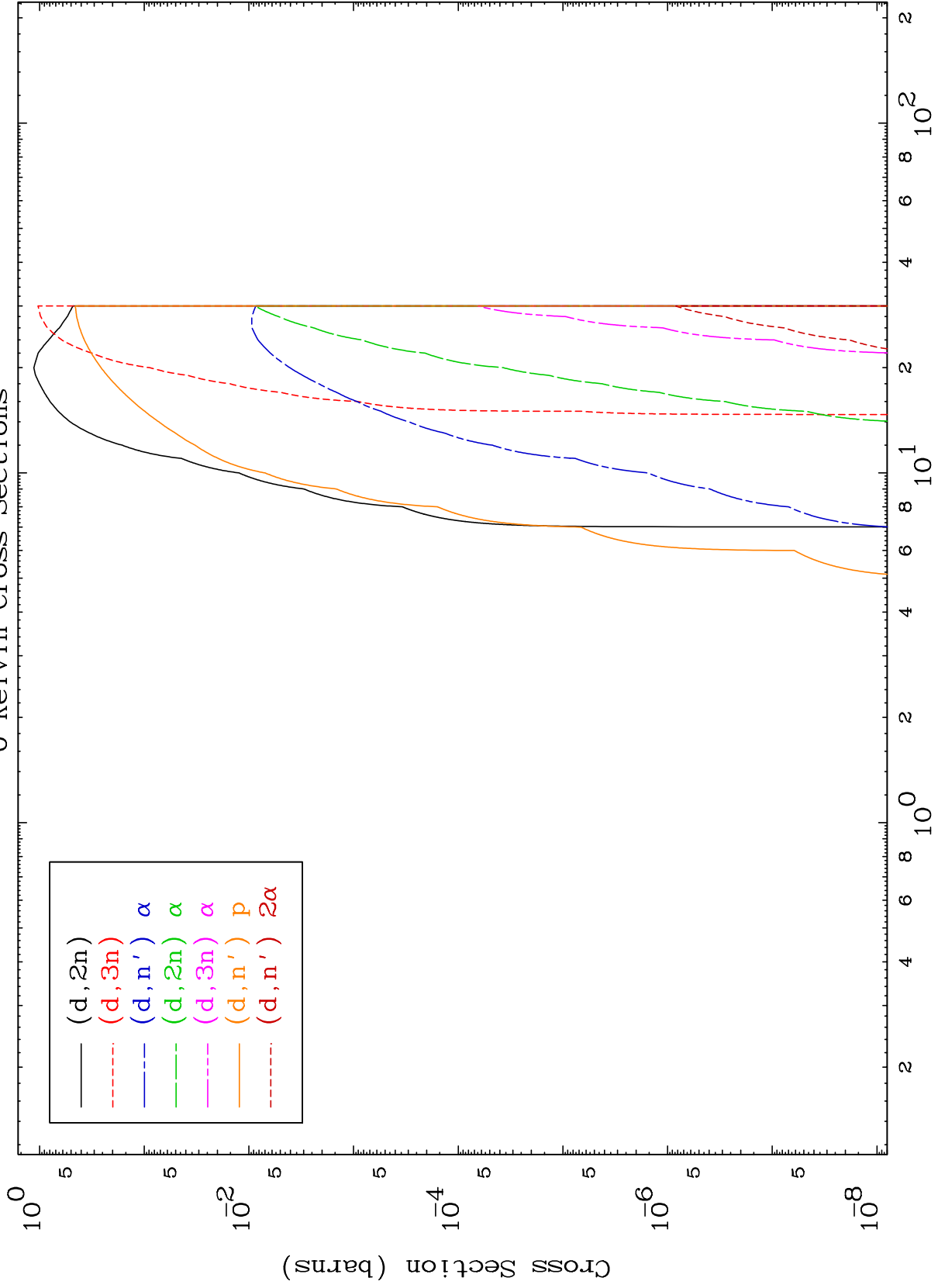
Tele: 925-443-1911

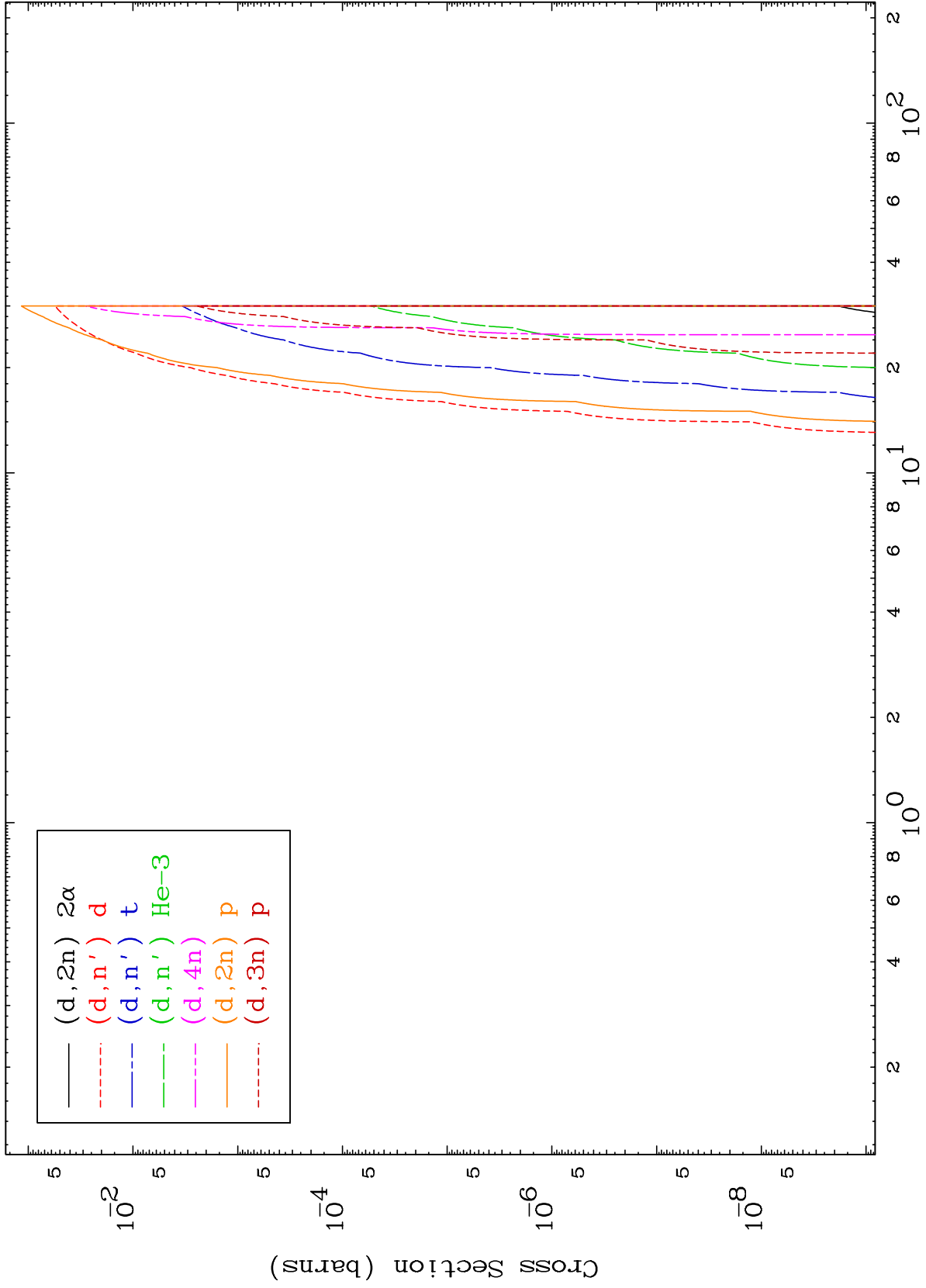
E.Mail:redcullen1@comcast.net

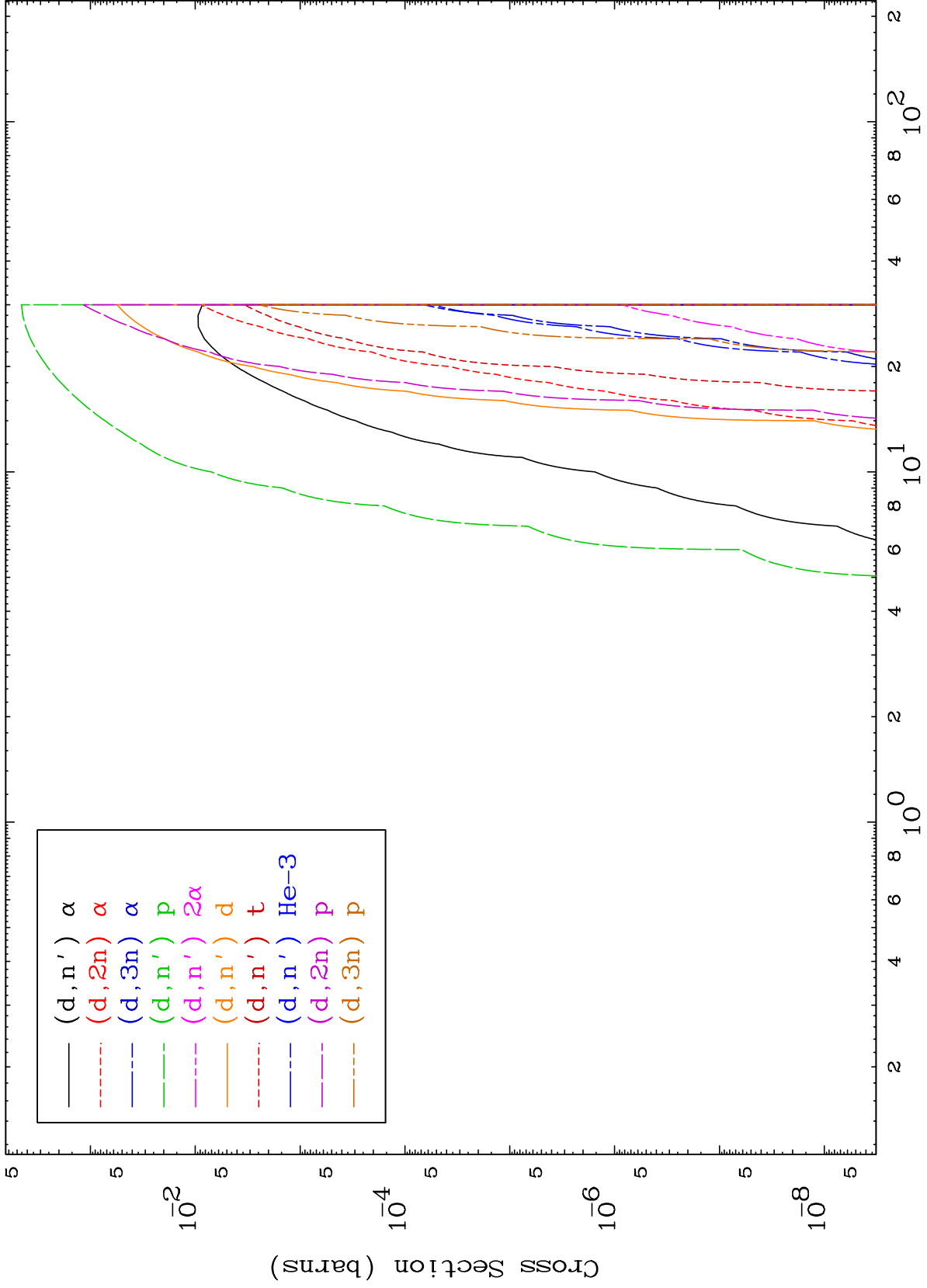
Web:redcullen1.net/HOMEPAGE.NEW

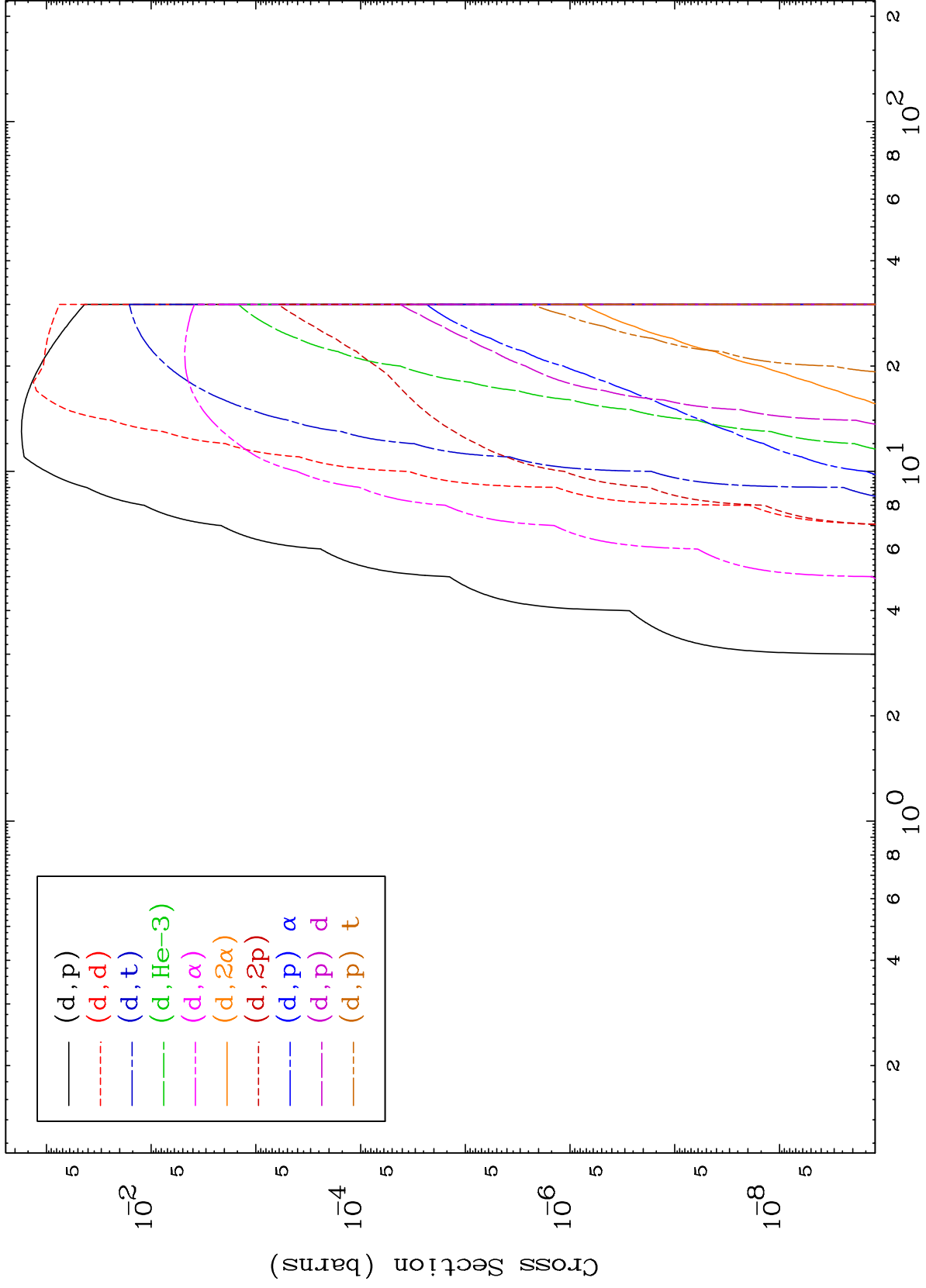
Press Mouse Button to Start









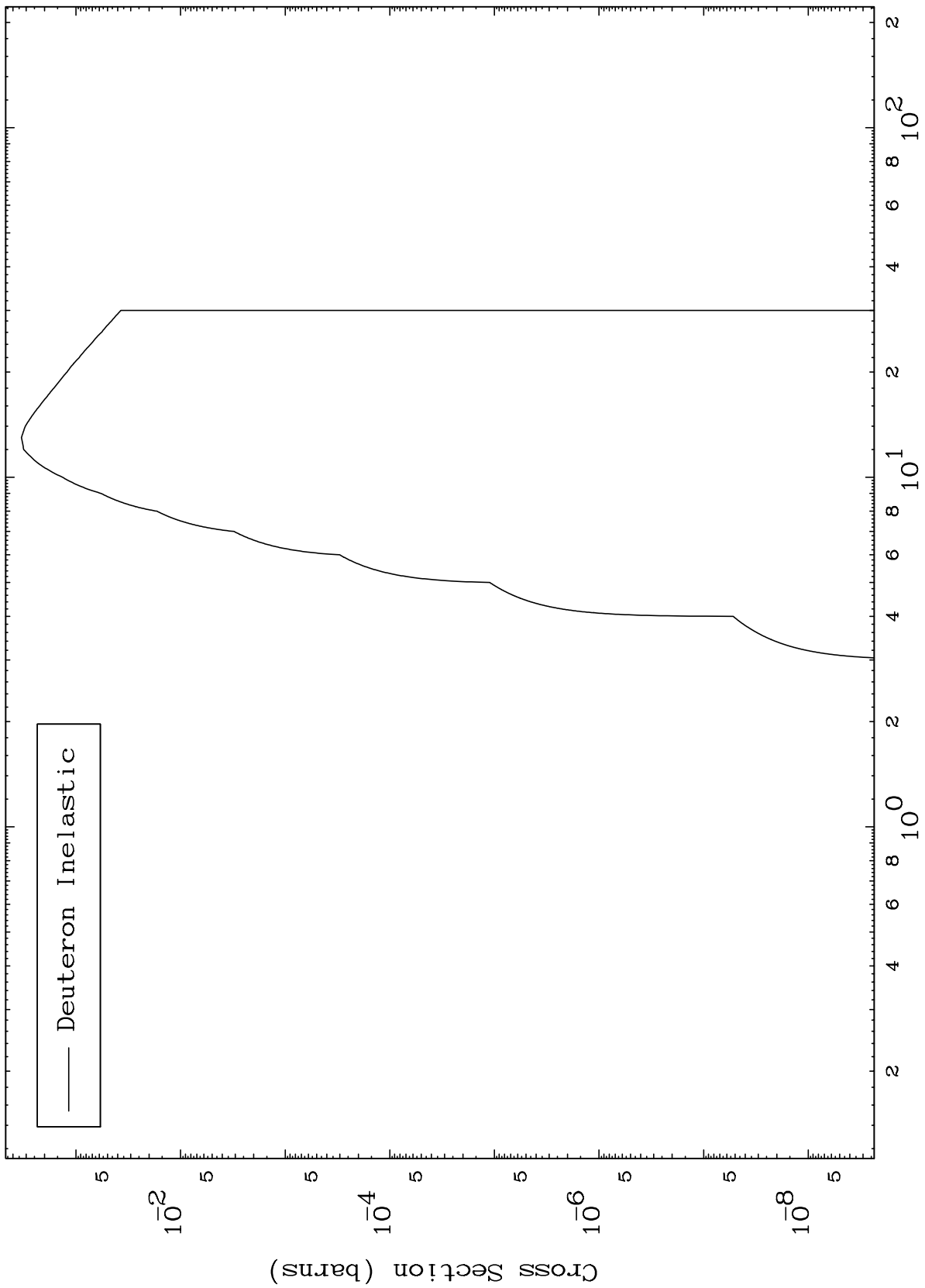


MAT 8102

(d,n') Level

81-Tl-195

0 Kelvin Cross Sections

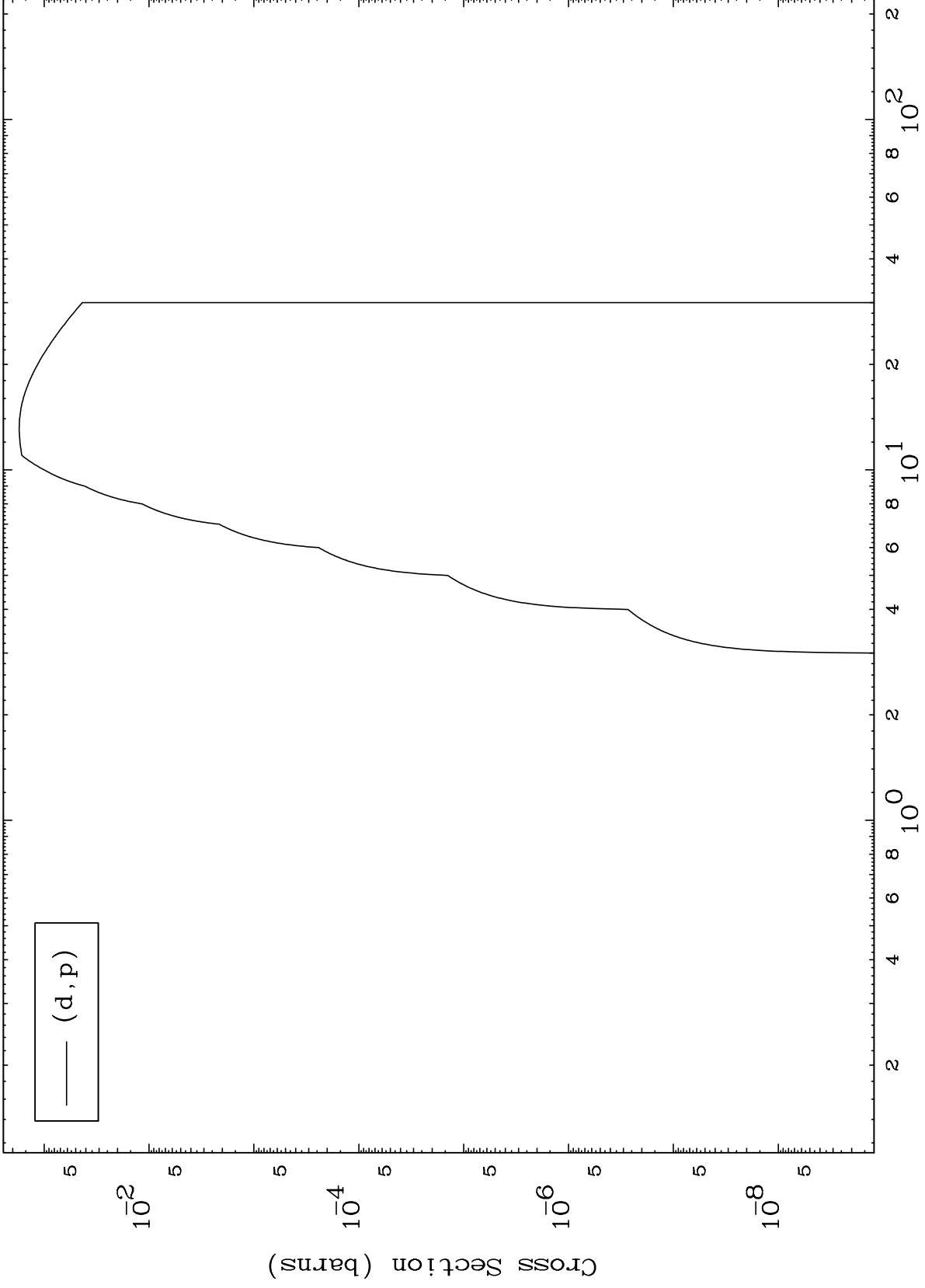


MAT 8102

(d,p) Levels

81-Tl-195

0 Kelvin Cross Sections



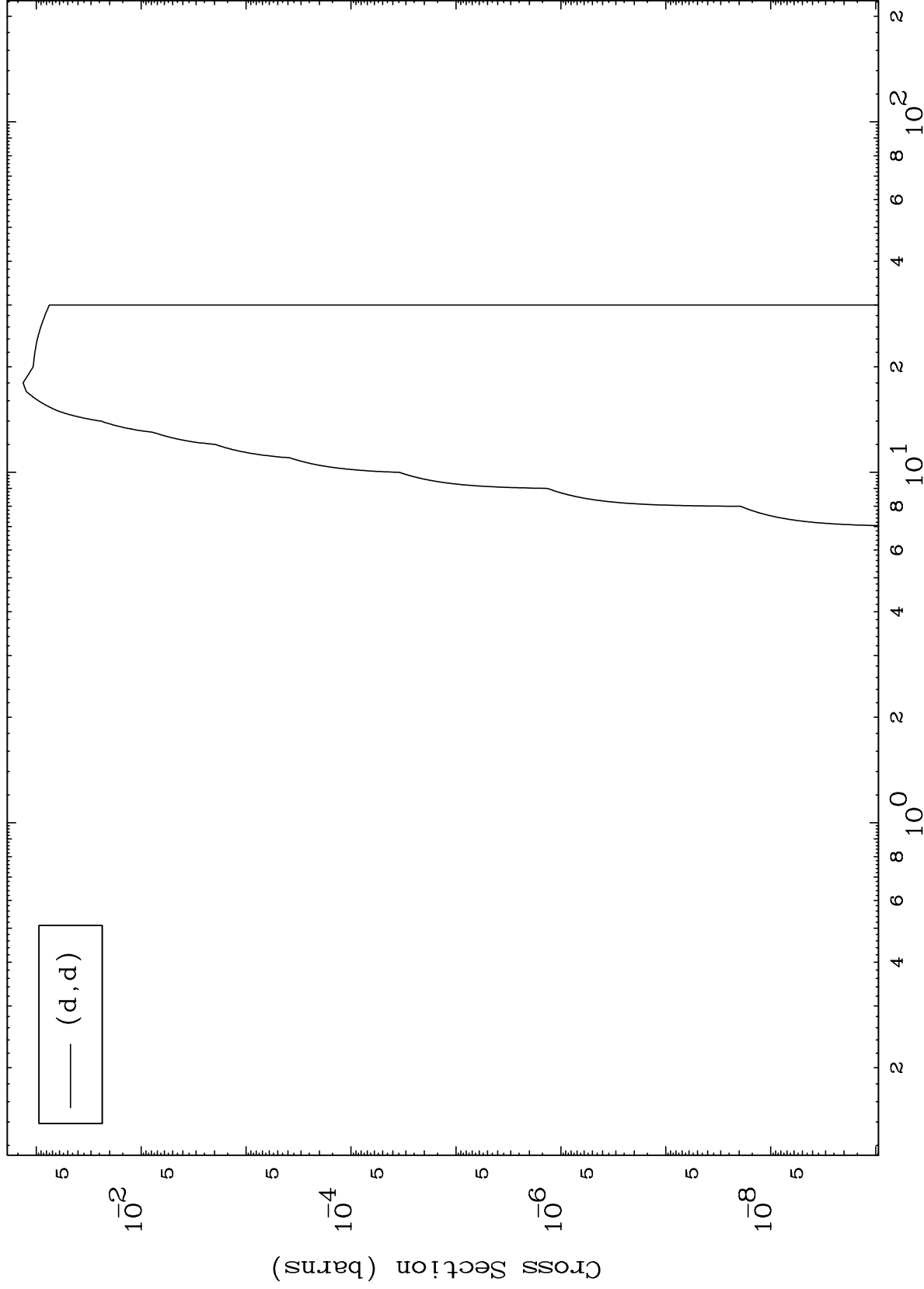


MAT 8102

(d,d) Levels

81-Tl-195

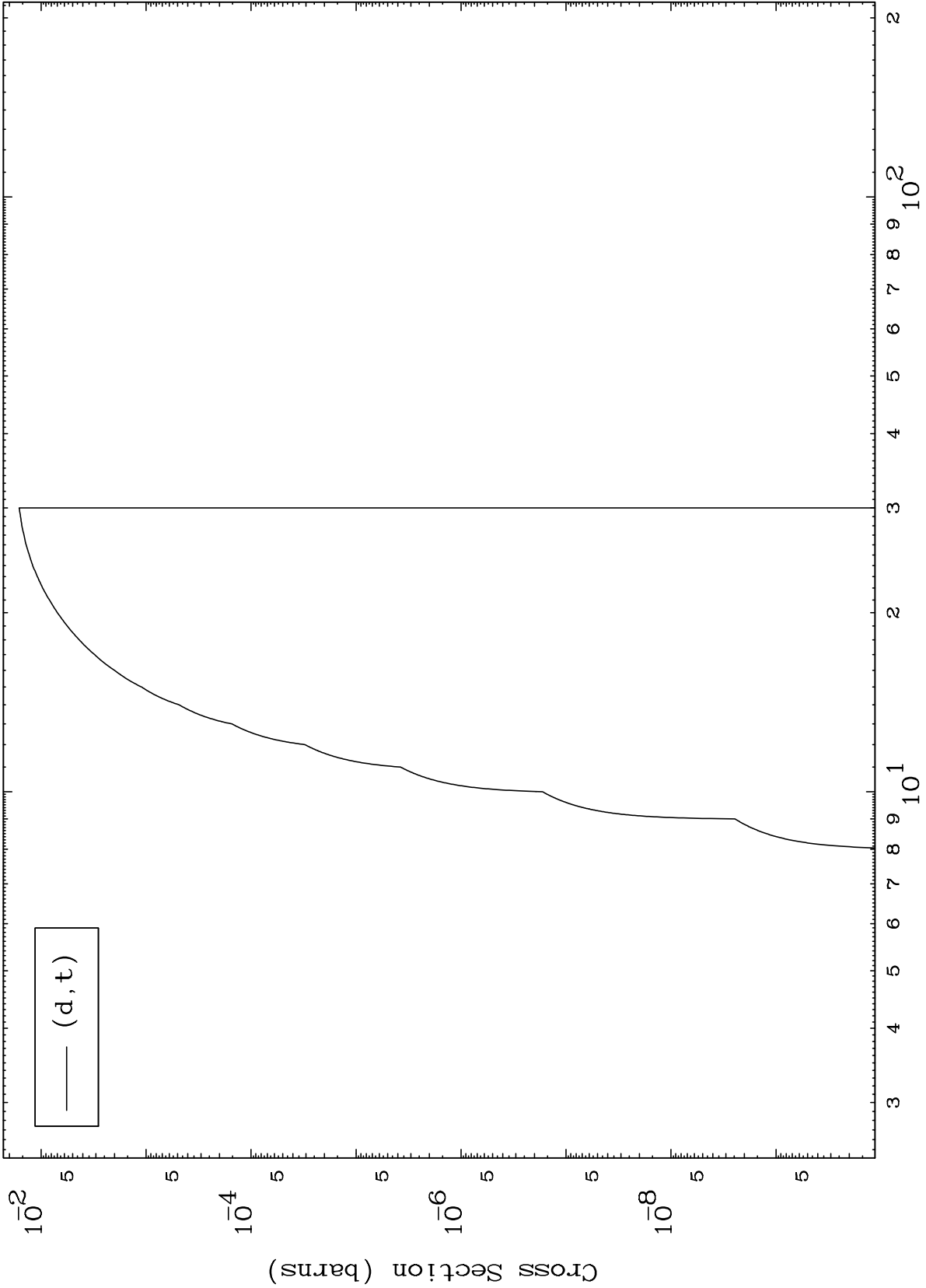
0 Kelvin Cross Sections



MAT 8102

81-T1-195

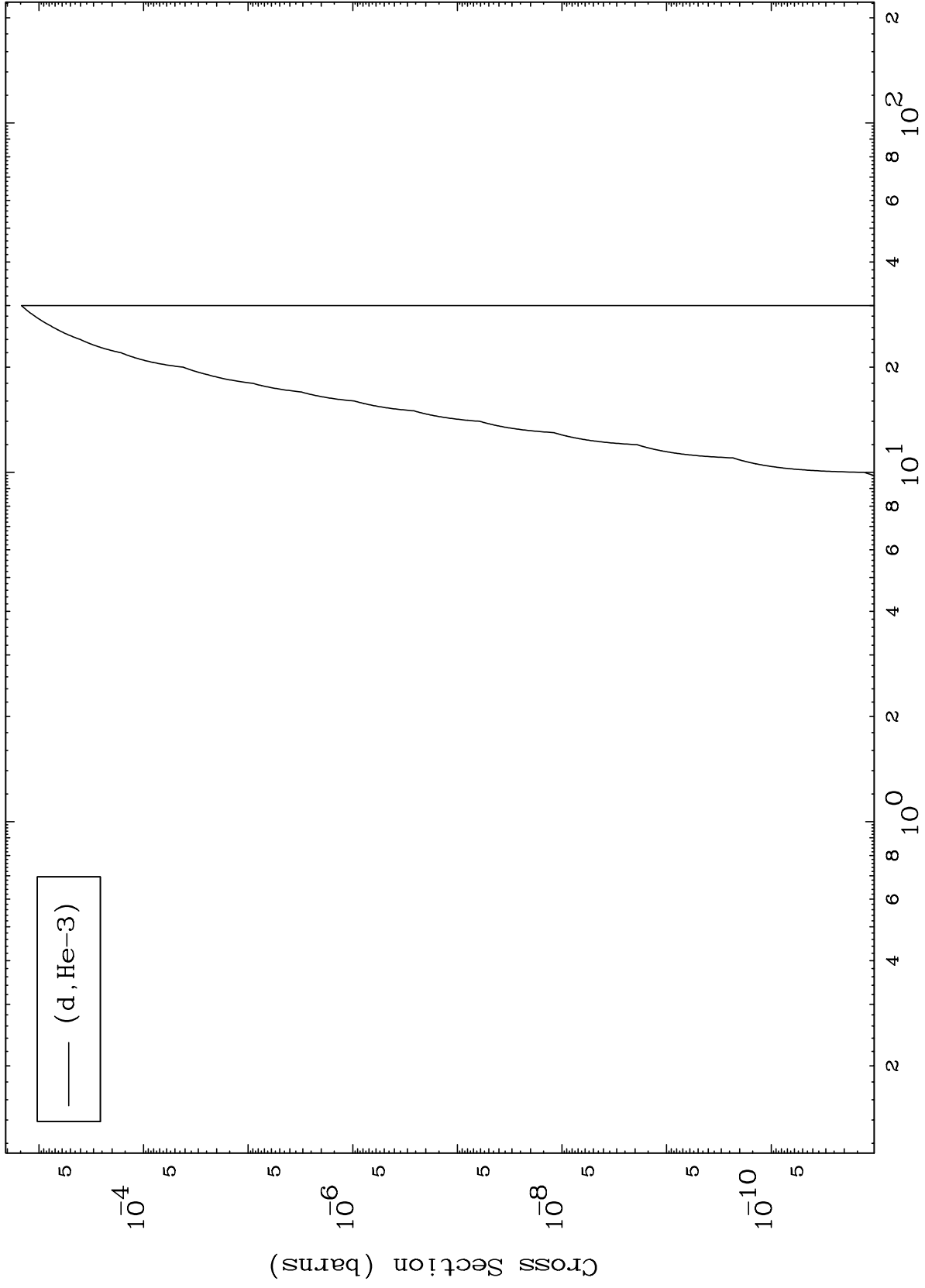
(d,t) Levels  
0 Kelvin Cross Sections



MAT 8102

(d,He3) Levels  
0 Kelvin Cross Sections

81-T1-195



10

Incident Energy (MeV)

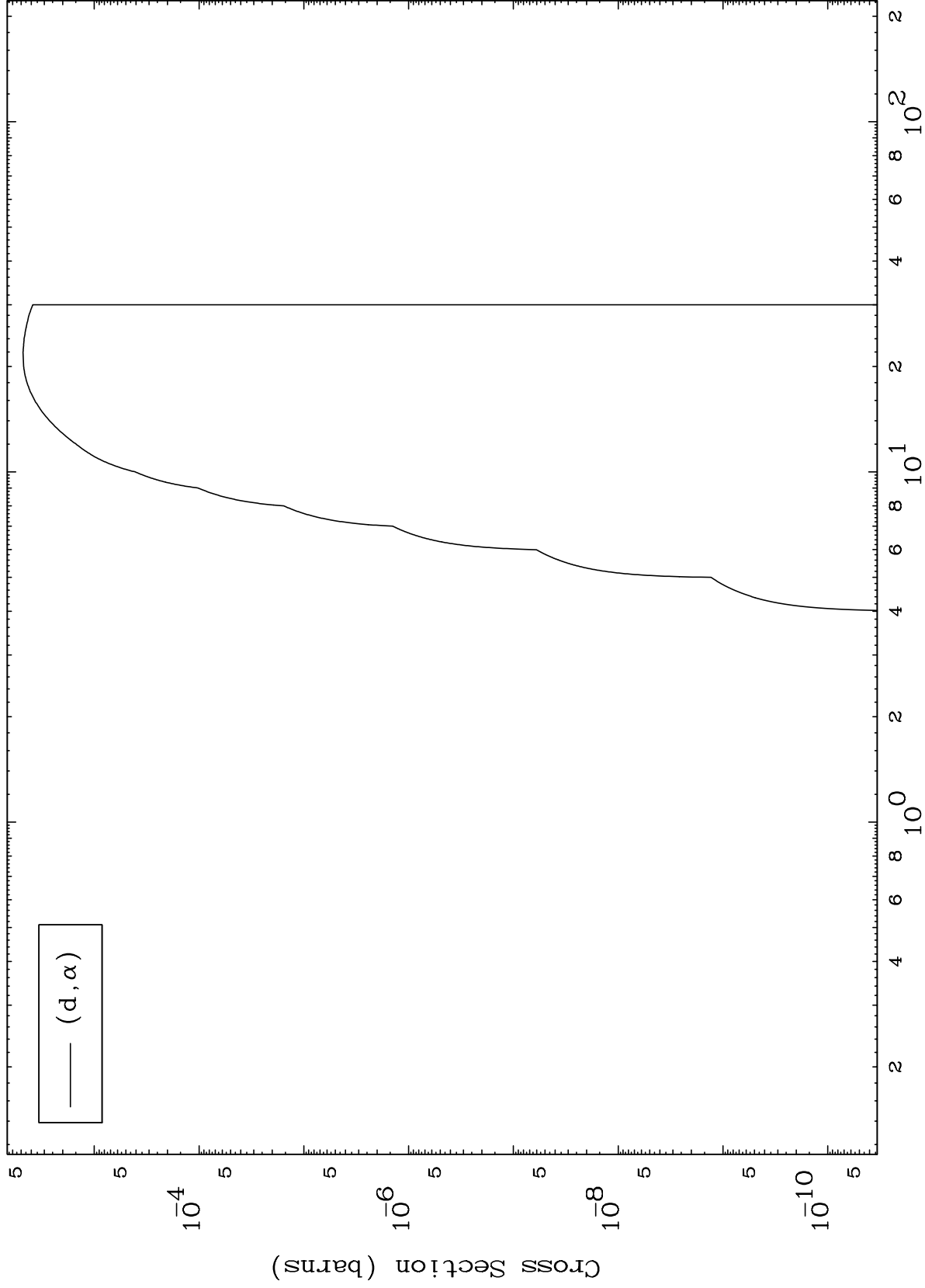
81-T1-195

MAT 8102

(d,  $\alpha$ ) Levels

81-Tl-195

0 Kelvin Cross Sections

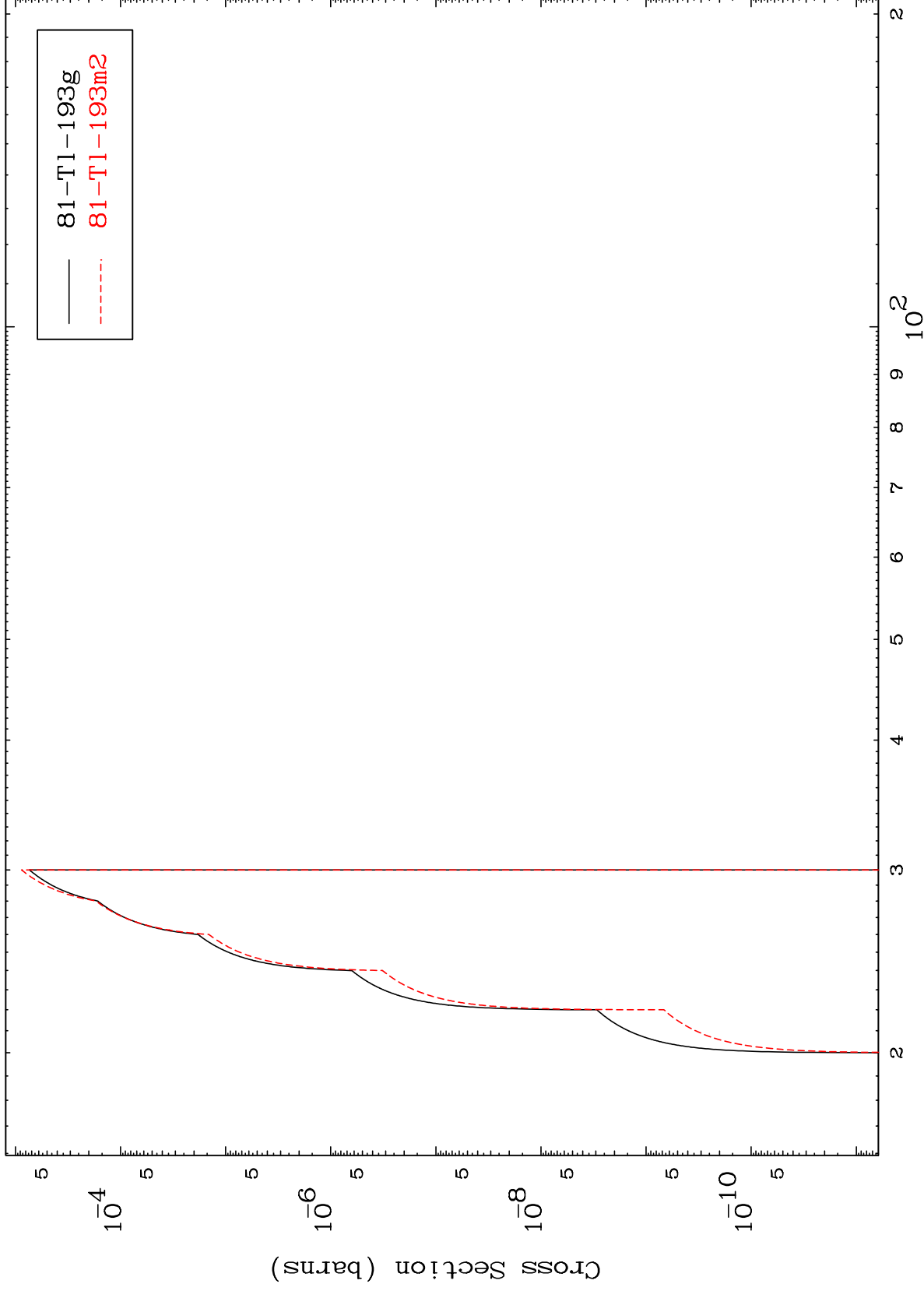


MAT 8102

(d,2n) d

81-Tl-195

Radionuclide Production Cross Section



12

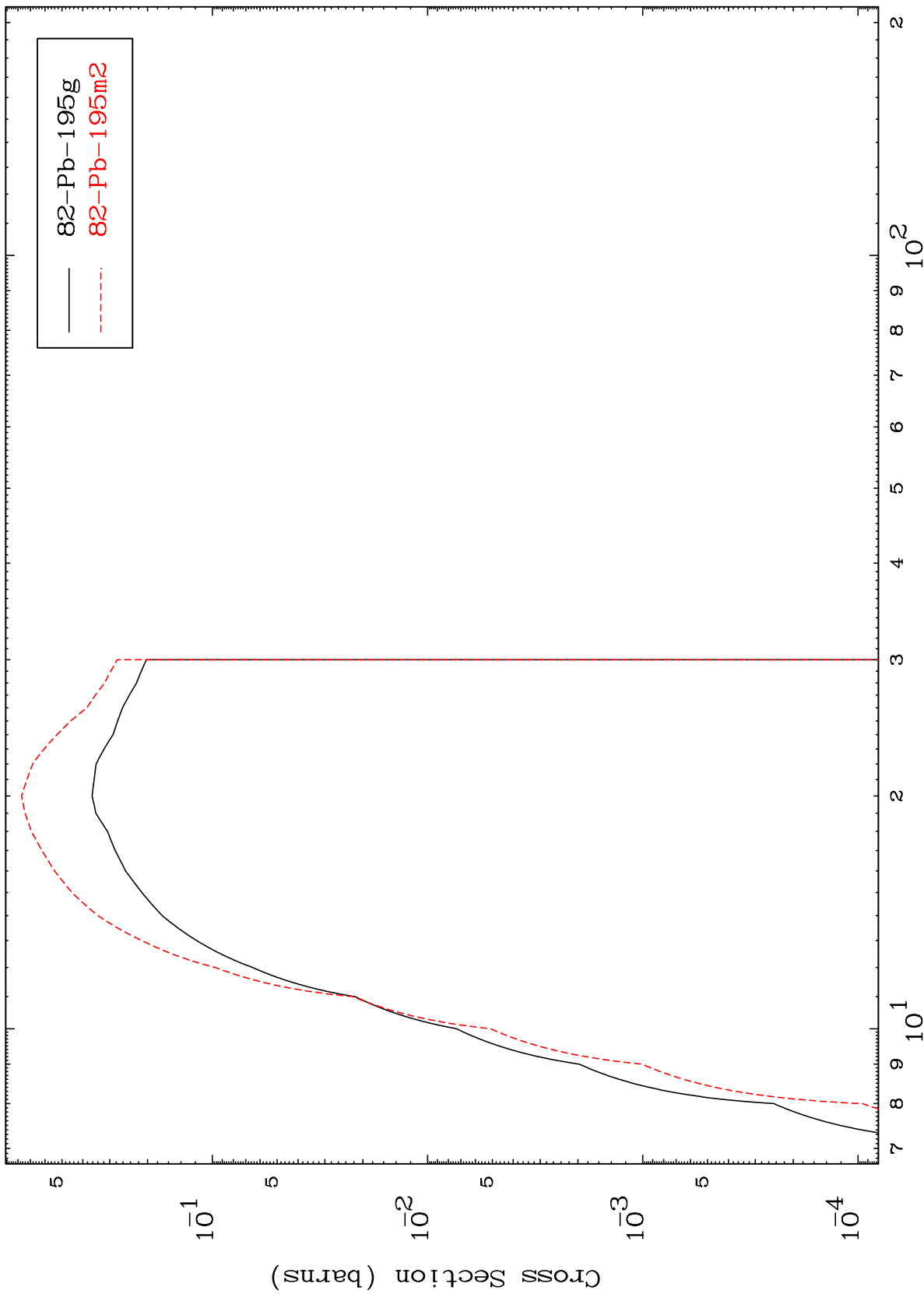
Incident Energy (MeV)

81-Tl-195

MAT 8102

81-Tl-195

(d,2n)  
Radionuclide Production Cross Section



81-Tl-195

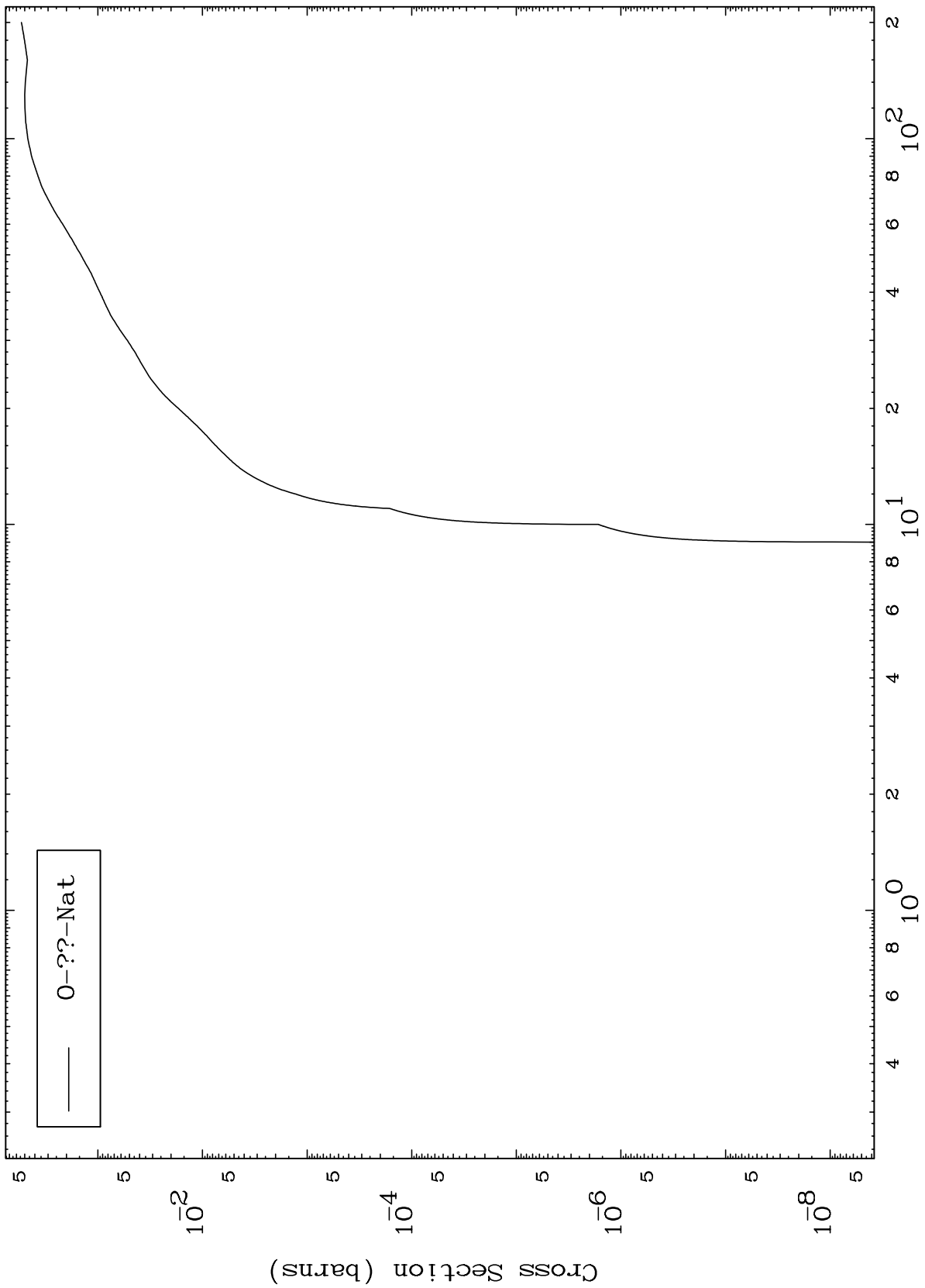
Incident Energy (MeV)

13

MAT 8102

81-Tl-195

Deuteron Fission  
Radionuclide Production Cross Section



81-Tl-195

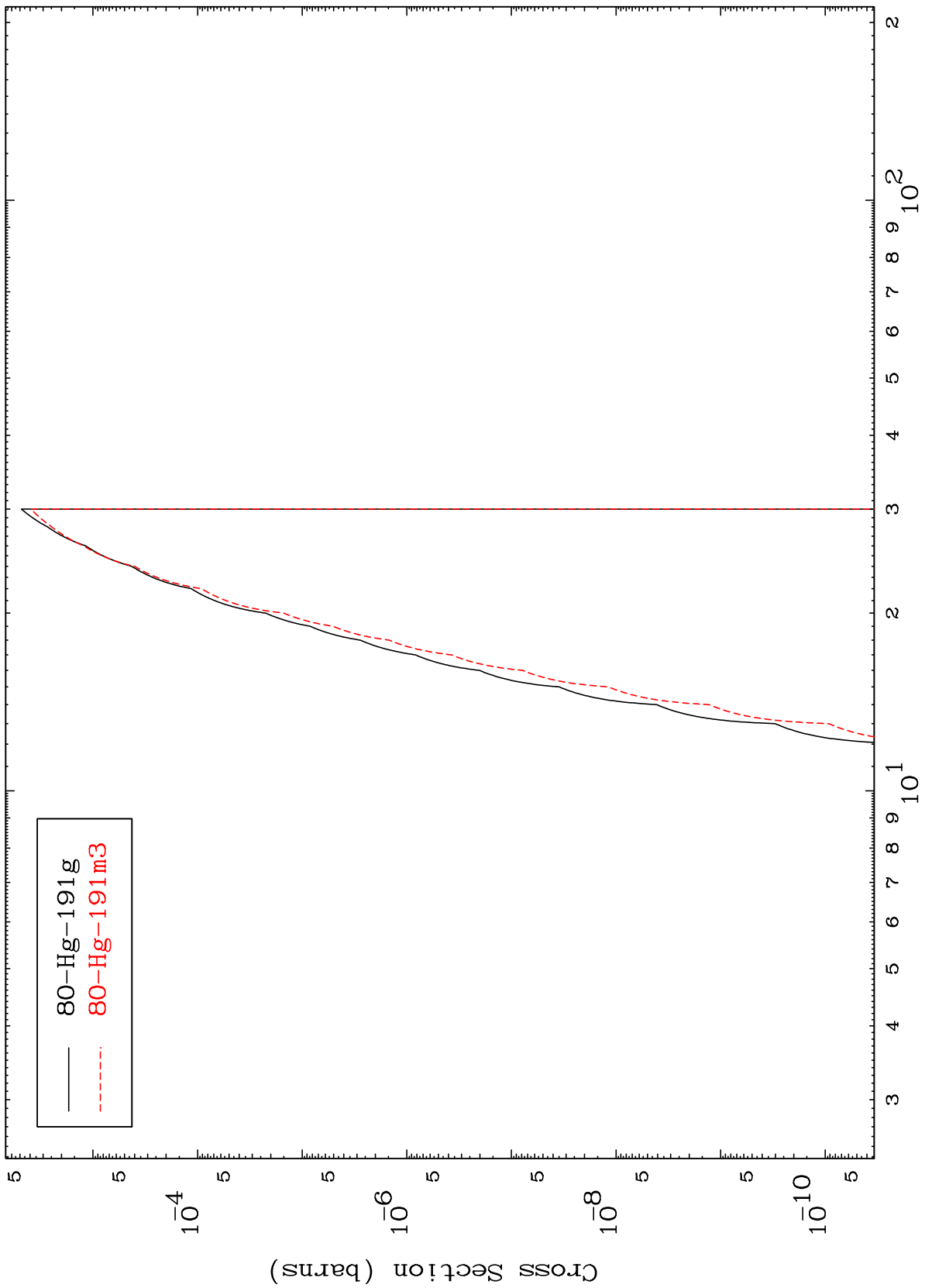
Incident Energy (MeV)

MAT 8102

81-Tl-195

(d,2n)  $\alpha$

Radionuclide Production Cross Section



15

Incident Energy (MeV)

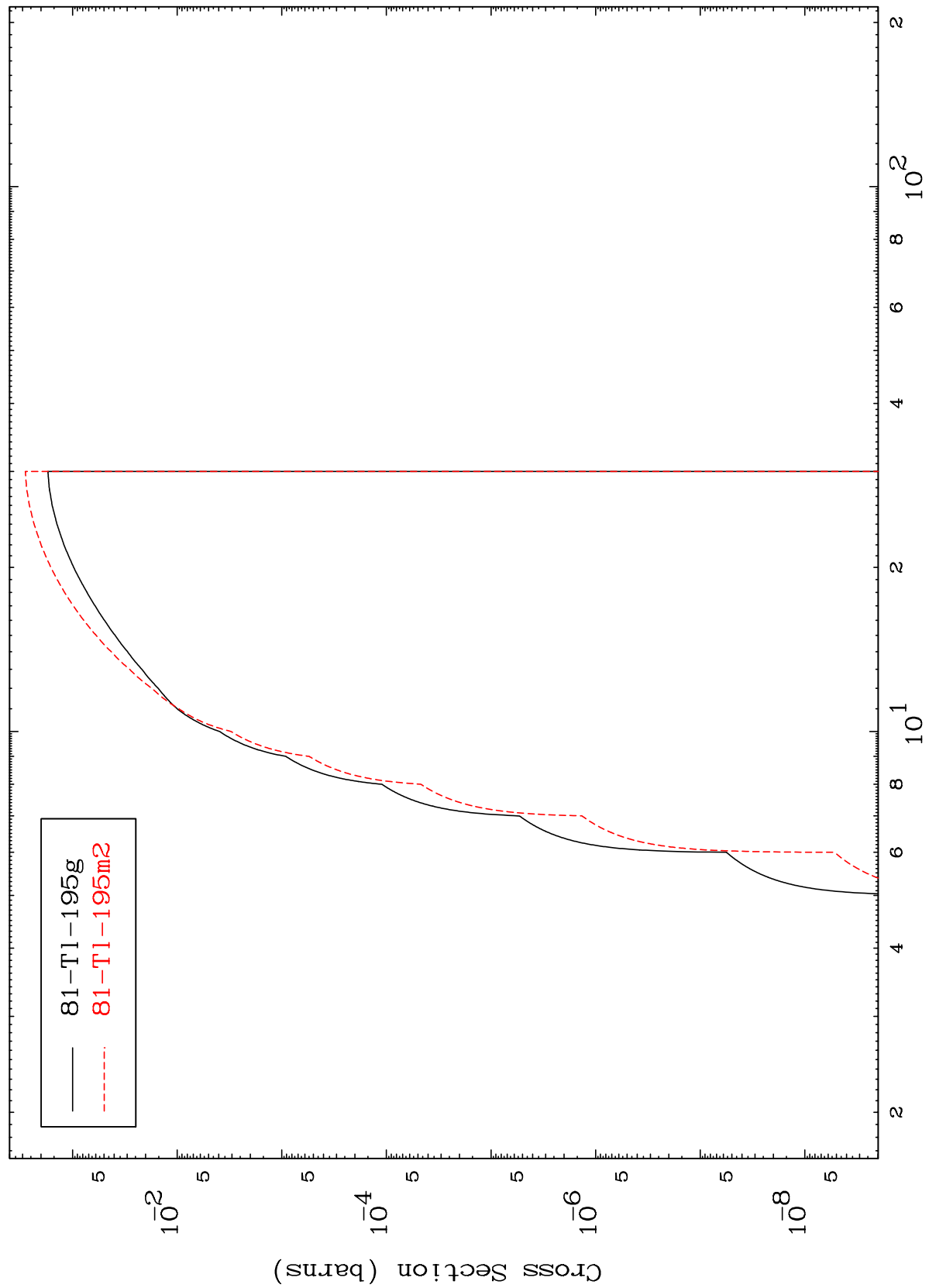
81-Tl-195



MAT 8102

81-Tl-195

(d,n') p  
Radionuclide Production Cross Section



81-Tl-195g  
81-Tl-195m2

81-Tl-195

Incident Energy (MeV)

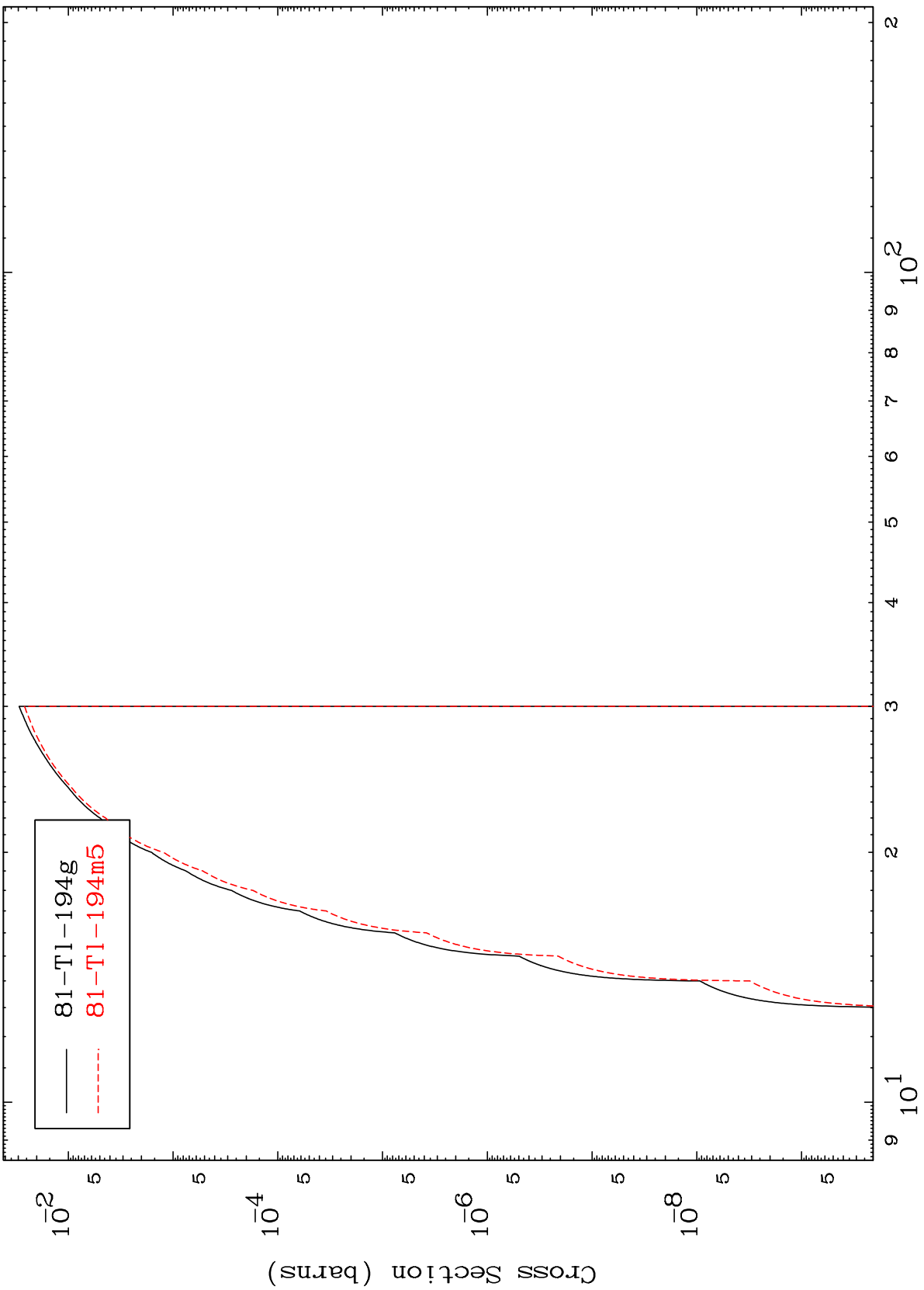
16

MAT 8102

(d,n') d

81-Tl-195

Radionuclide Production Cross Section



81-Tl-194g  
81-Tl-194m5

17

Incident Energy (MeV)

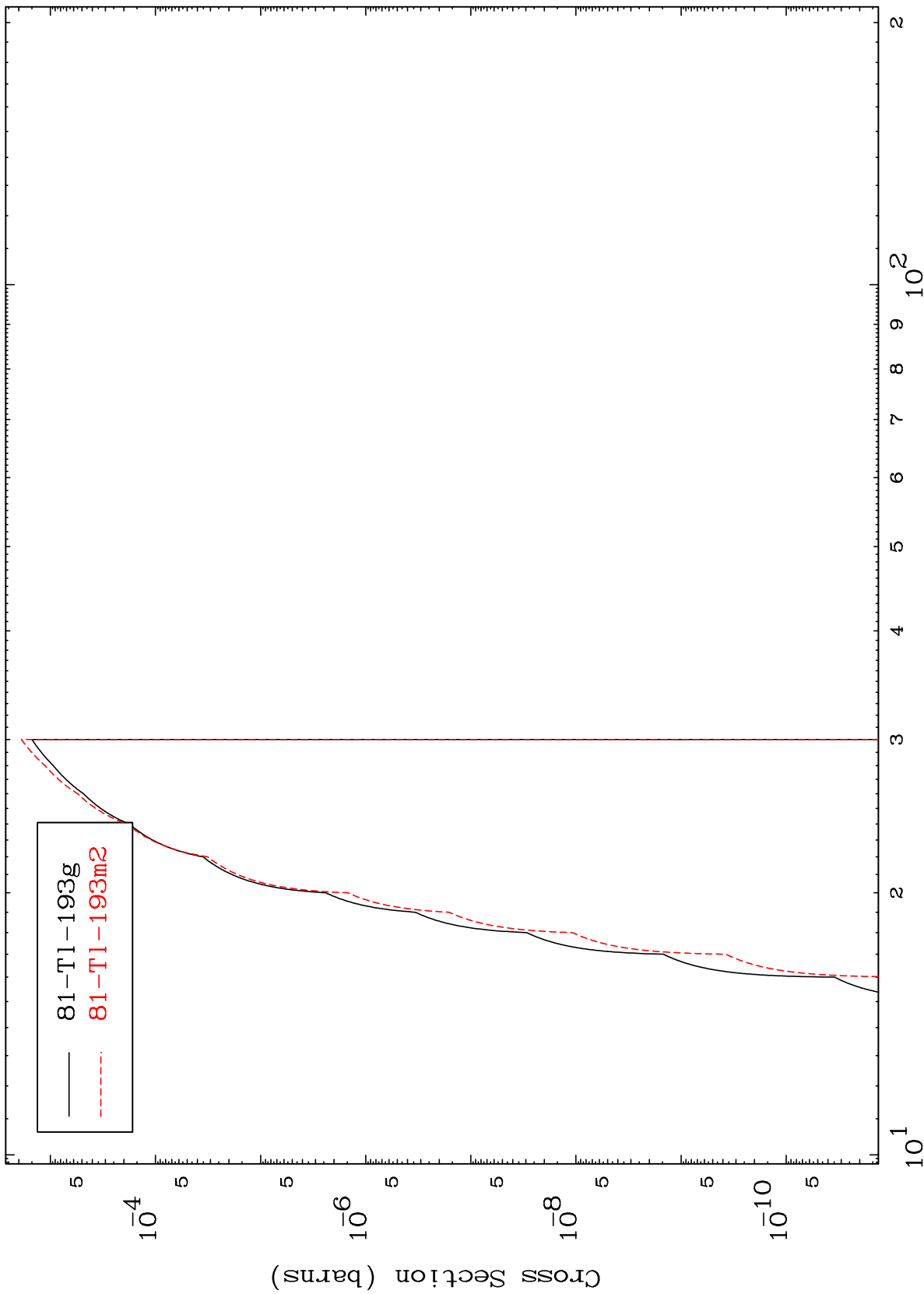
81-Tl-195

MAT 8102

(d,n') t

81-Tl-195

Radionuclide Production Cross Section



81-Tl-193g  
81-Tl-193m2

Incident Energy (MeV)

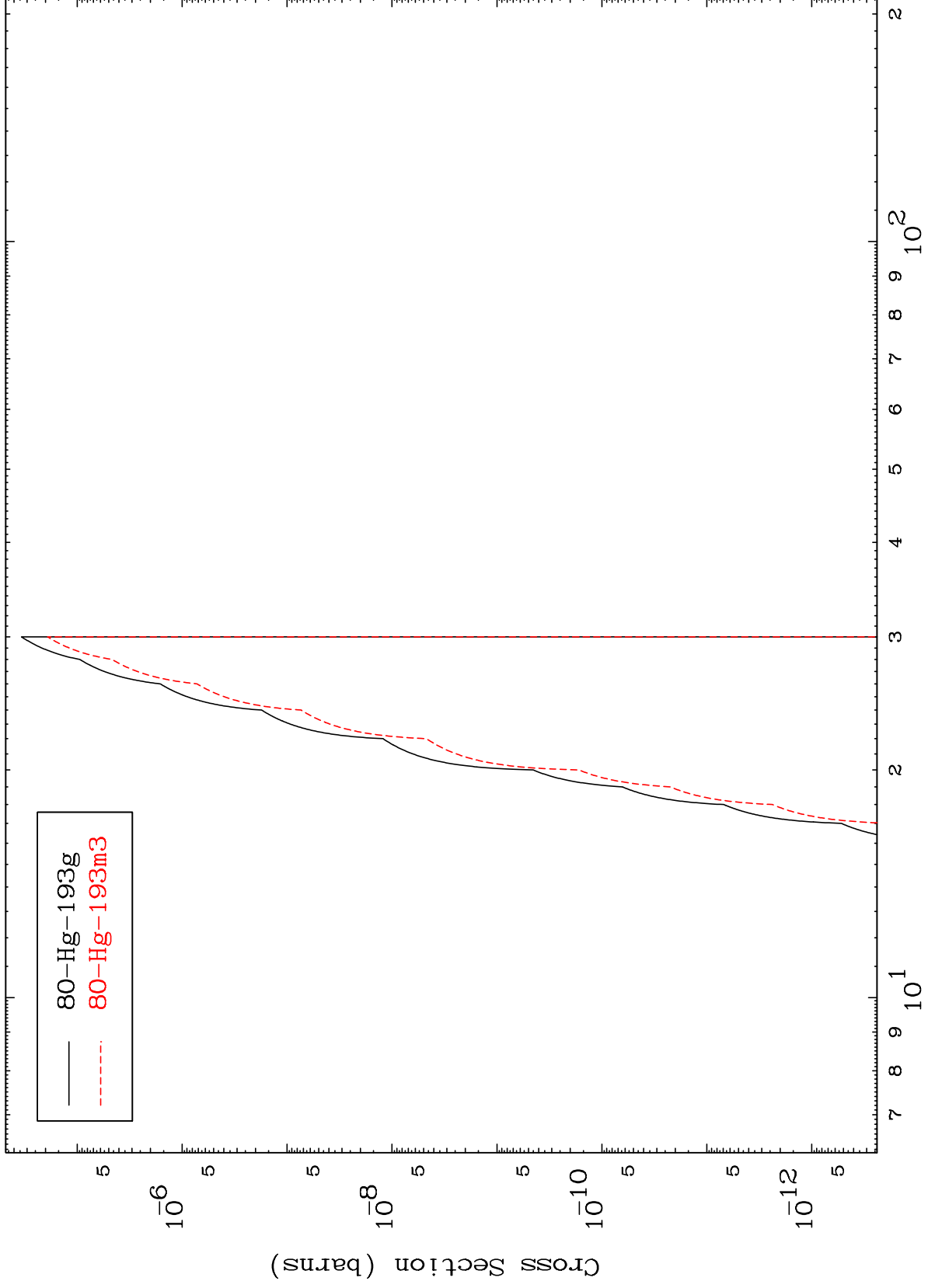
81-Tl-195

MAT 8102

(d,n') He-3

81-Tl-195

Radionuclide Production Cross Section



19

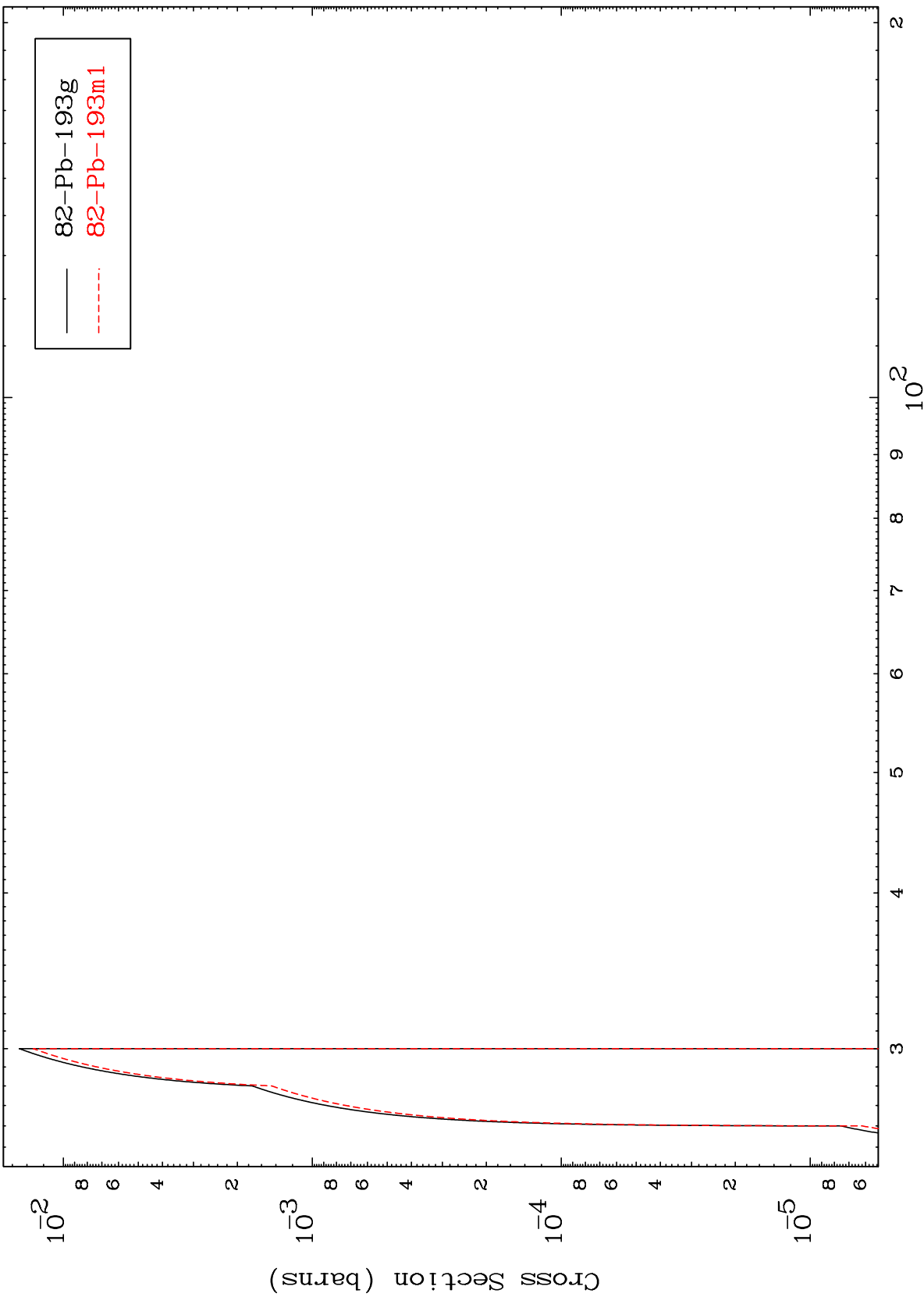
Incident Energy (MeV)

81-Tl-195

MAT 8102

81-Tl-195

(d,4n)  
Radionuclide Production Cross Section

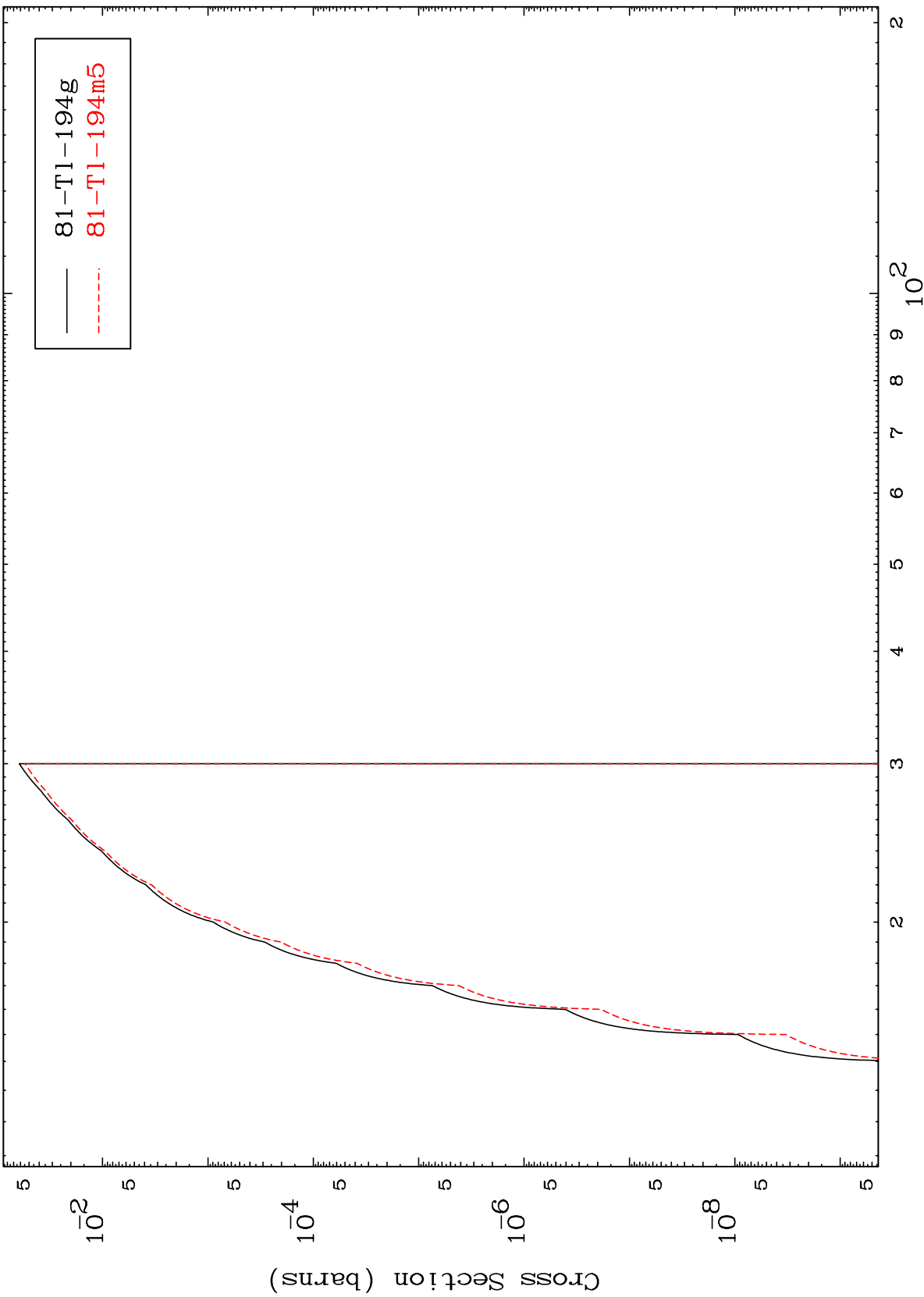


20

Incident Energy (MeV)

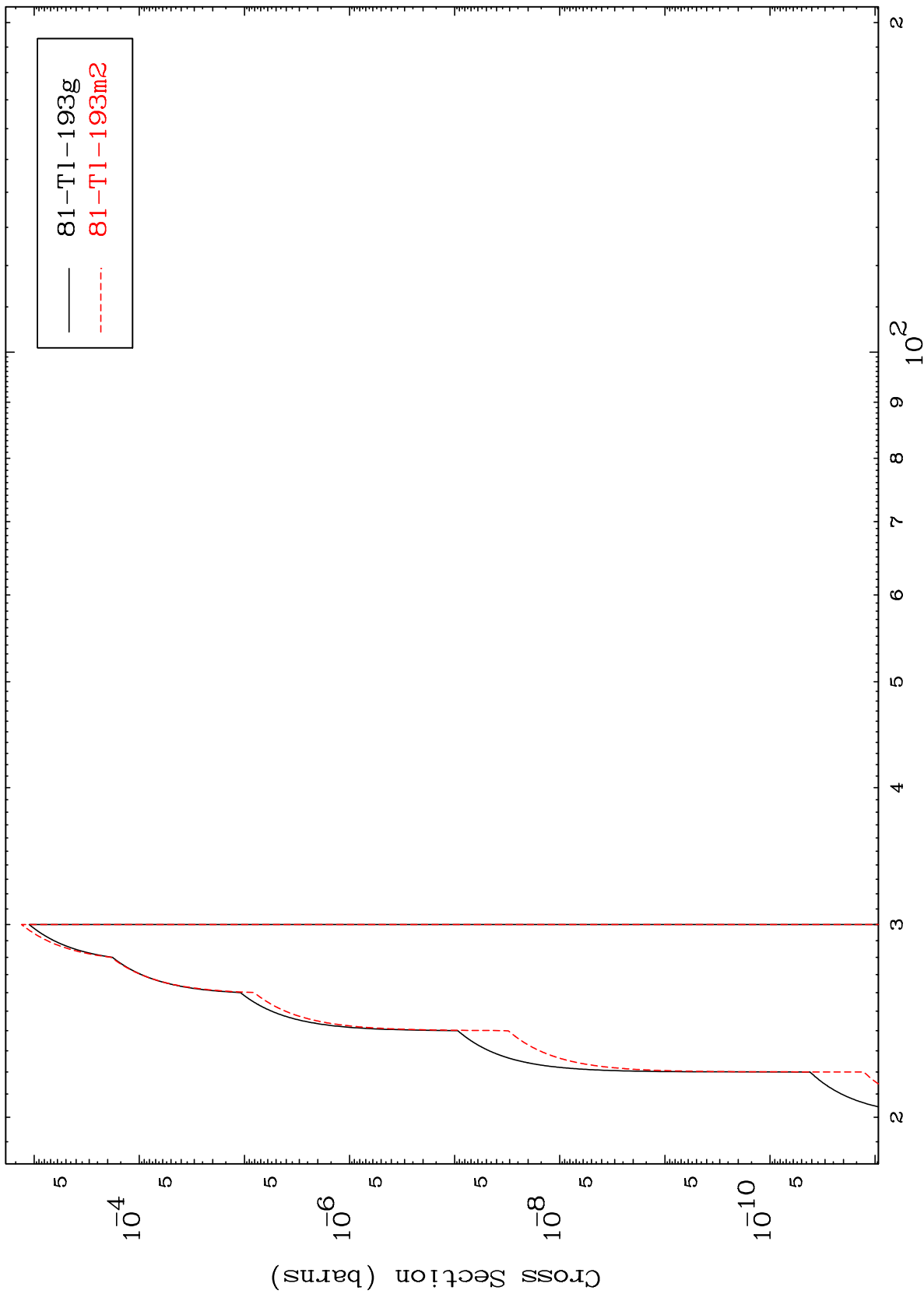
81-Tl-195

Radionuclide Production Cross Section



81-Tl-194g  
81-Tl-194m5

(d,3n) p  
Radionuclide Production Cross Section

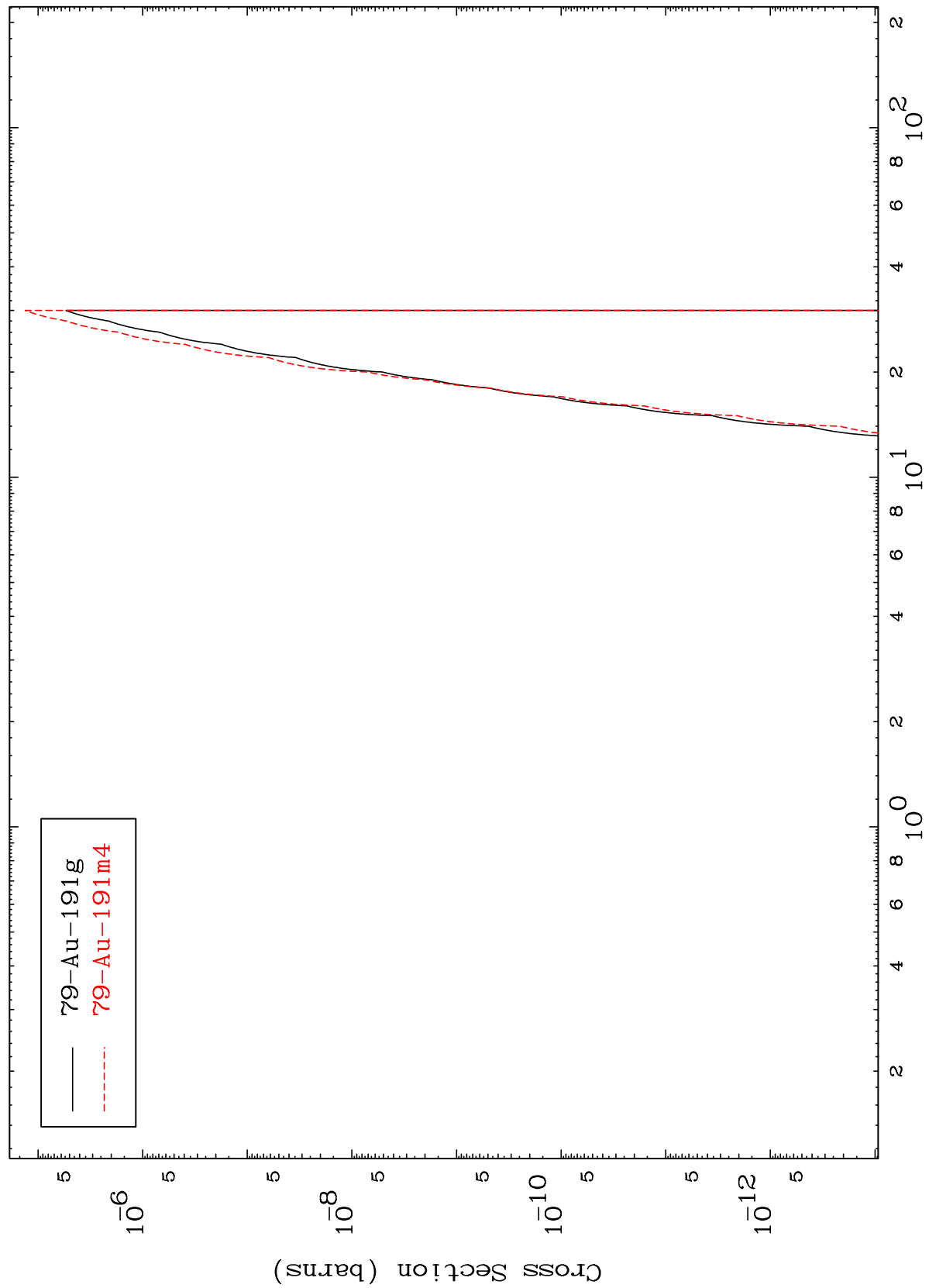


MAT 8102

(d,n') p  $\alpha$

81-Tl-195

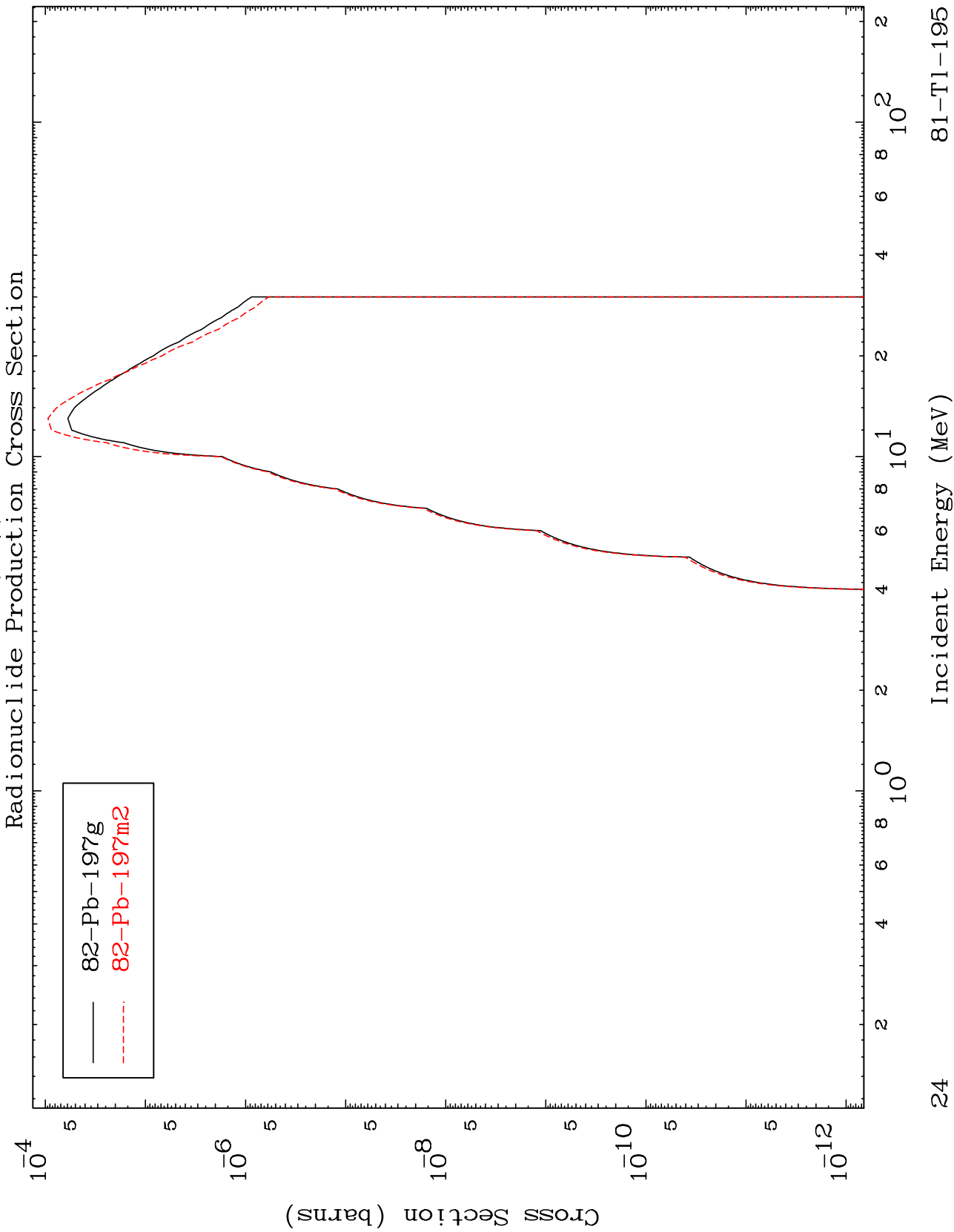
Radionuclide Production Cross Section





MAT 8102

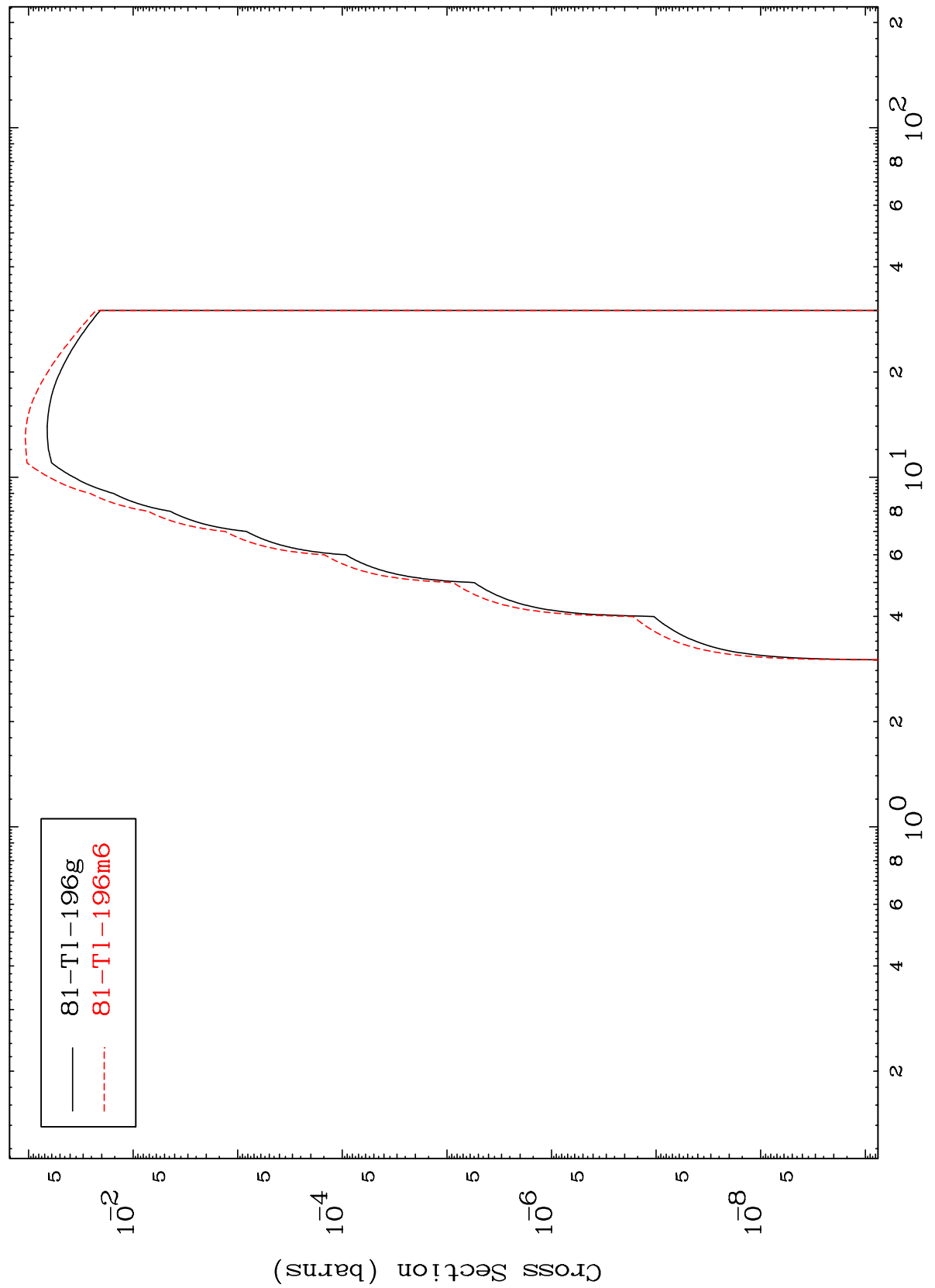
81-Tl-195



MAT 8102

81-Tl-195

(d,p)  
Radionuclide Production Cross Section



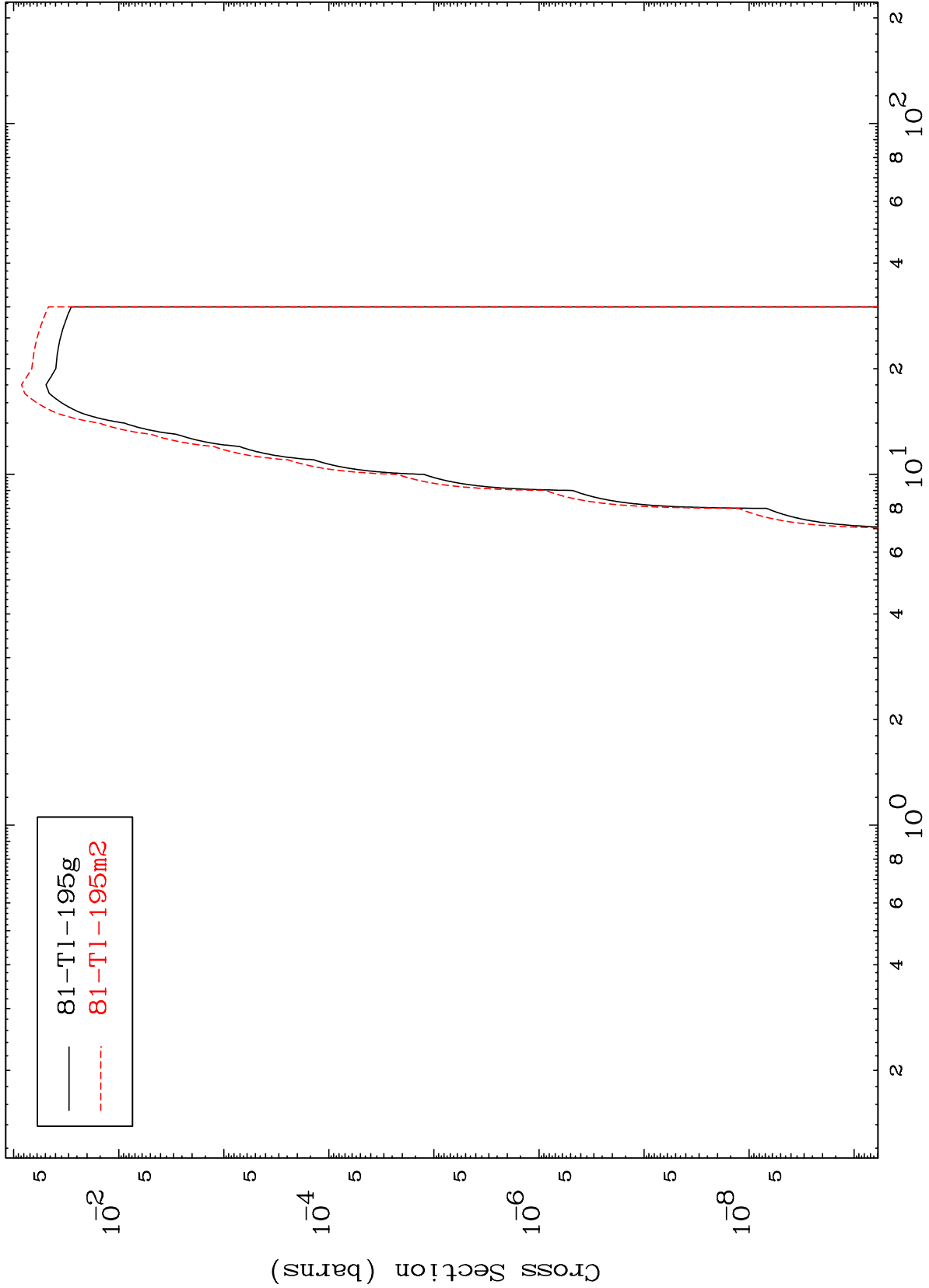
81-Tl-196g  
81-Tl-196m6

MAT 8102

(d,d)

81-Tl-195

Radionuclide Production Cross Section

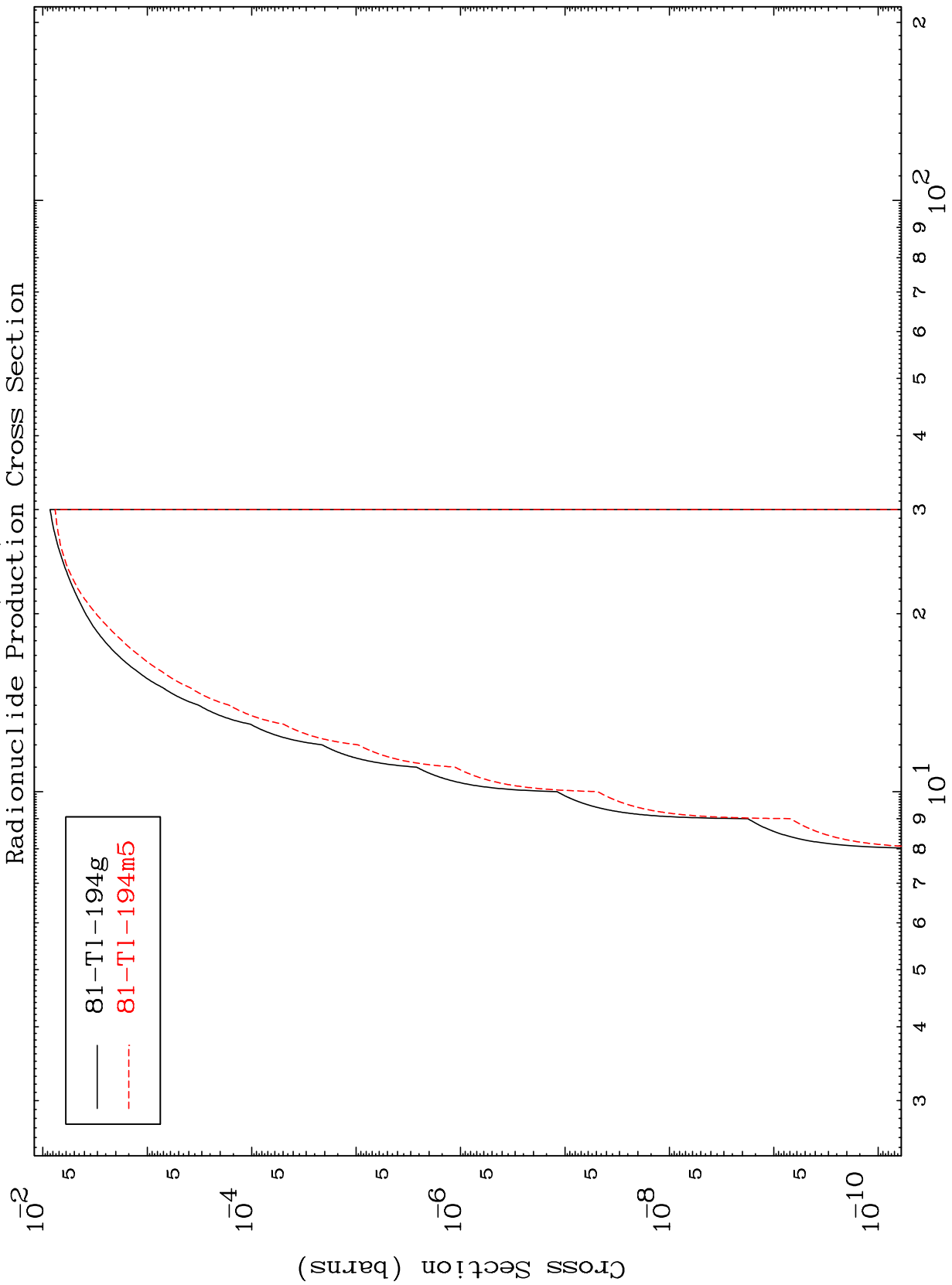


81-Tl-195g  
81-Tl-195m2

MAT 8102

81-Tl-195

(d, t)  
Radionuclide Production Cross Section



81-Tl-194g  
81-Tl-194m5

81-Tl-195

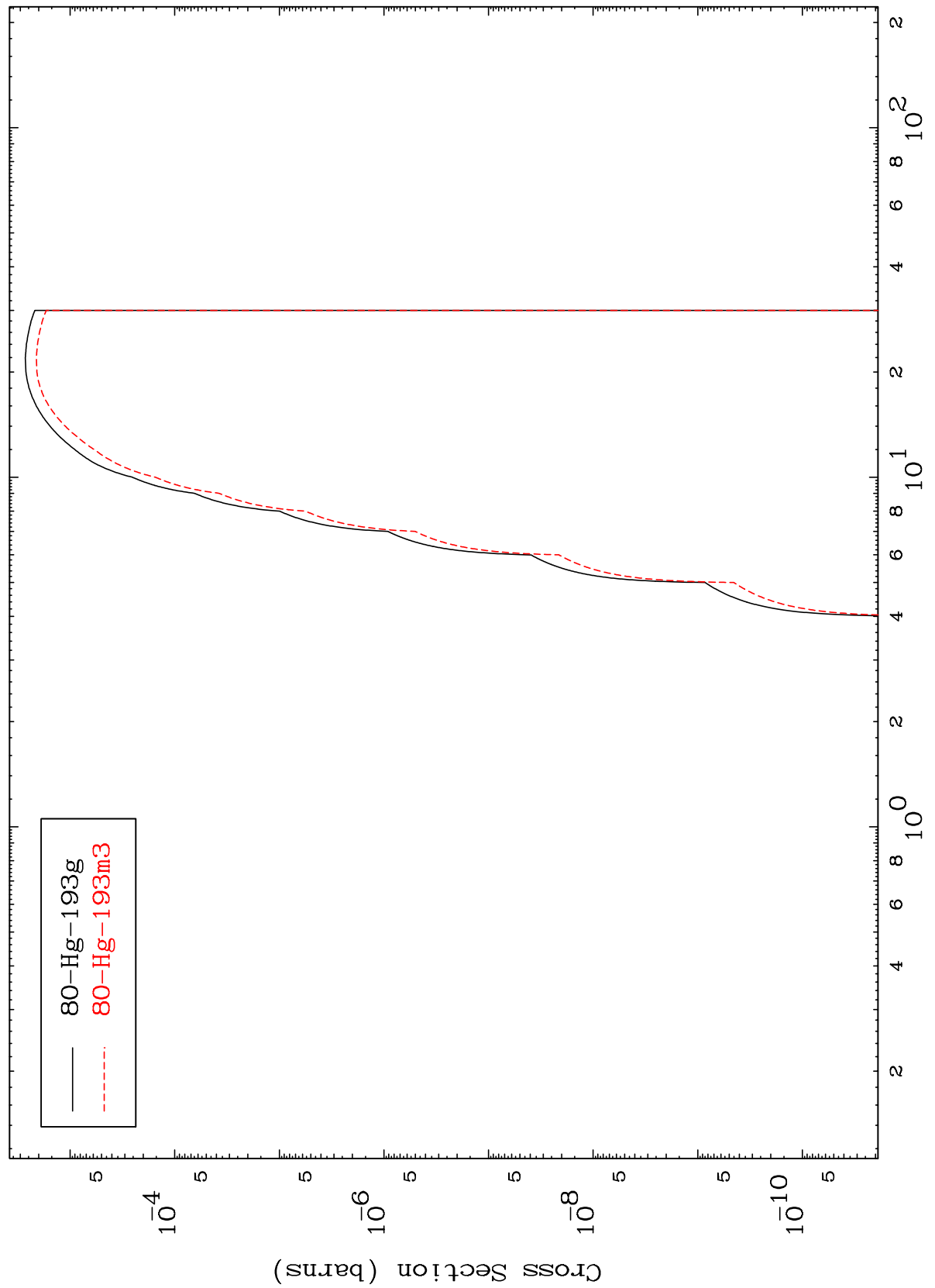
Incident Energy (MeV)

27

MAT 8102

81-Tl-195

Radionuclide Production Cross Section  
(d,  $\alpha$ )



81-Tl-195

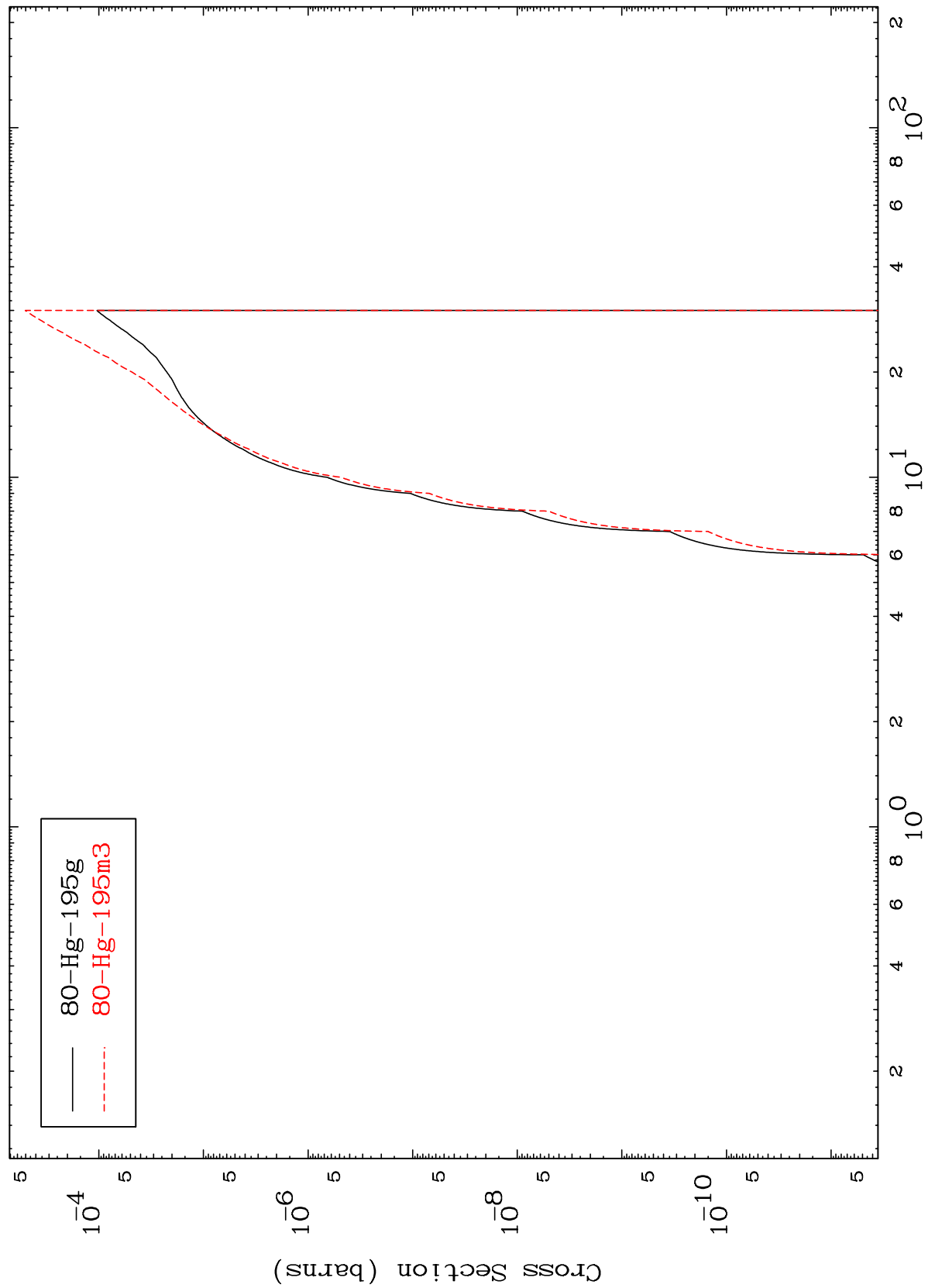
Incident Energy (MeV)

28

MAT 8102

81-Tl-195

Radionuclide Production Cross Section  
(d,2p)



80-Hg-195g  
80-Hg-195m3

81-Tl-195

Incident Energy (MeV)

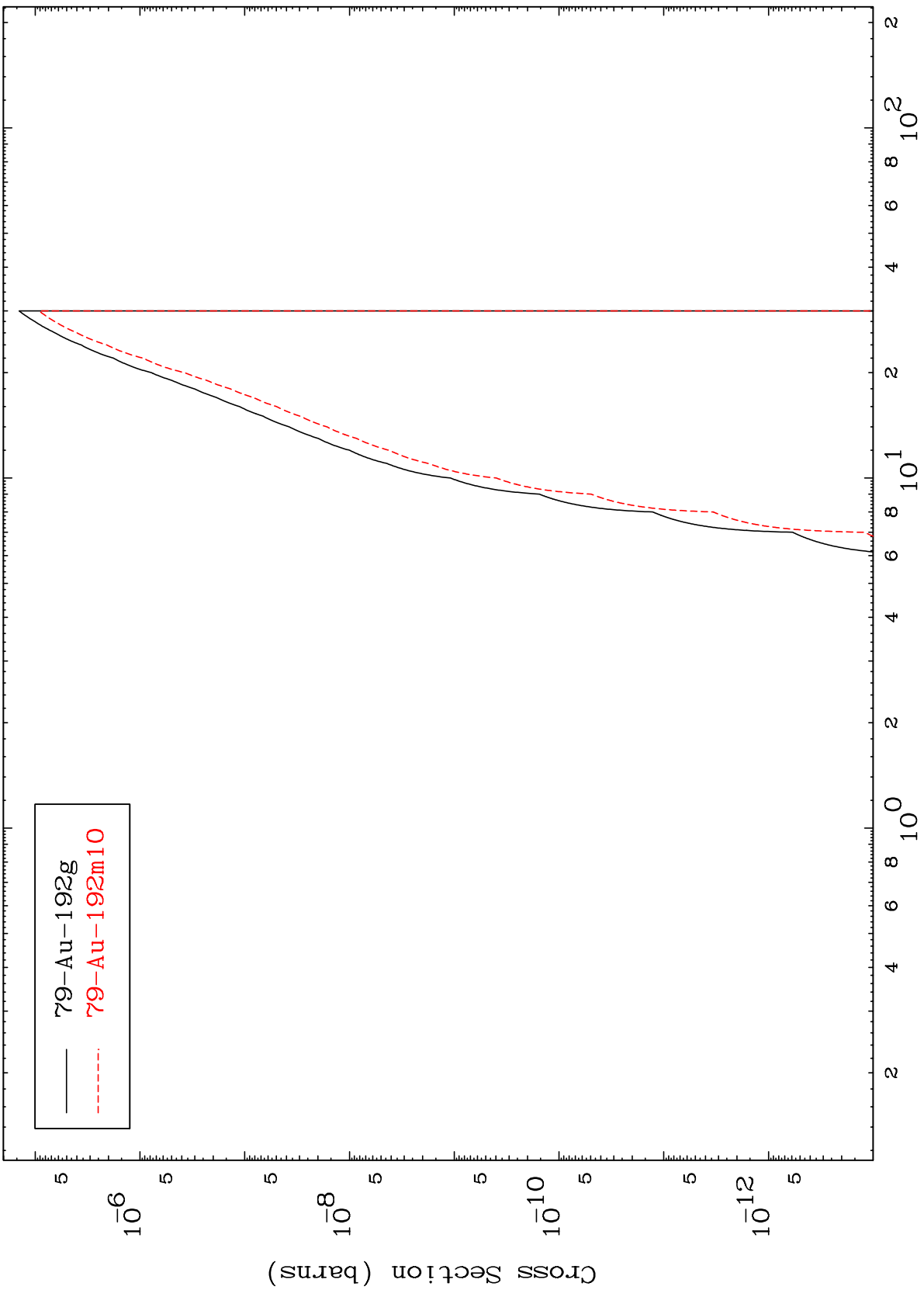
29

MAT 8102

(d,p)  $\alpha$

81-Tl-195

Radionuclide Production Cross Section



79-Au-192g  
79-Au-192m10

30

Incident Energy (MeV)

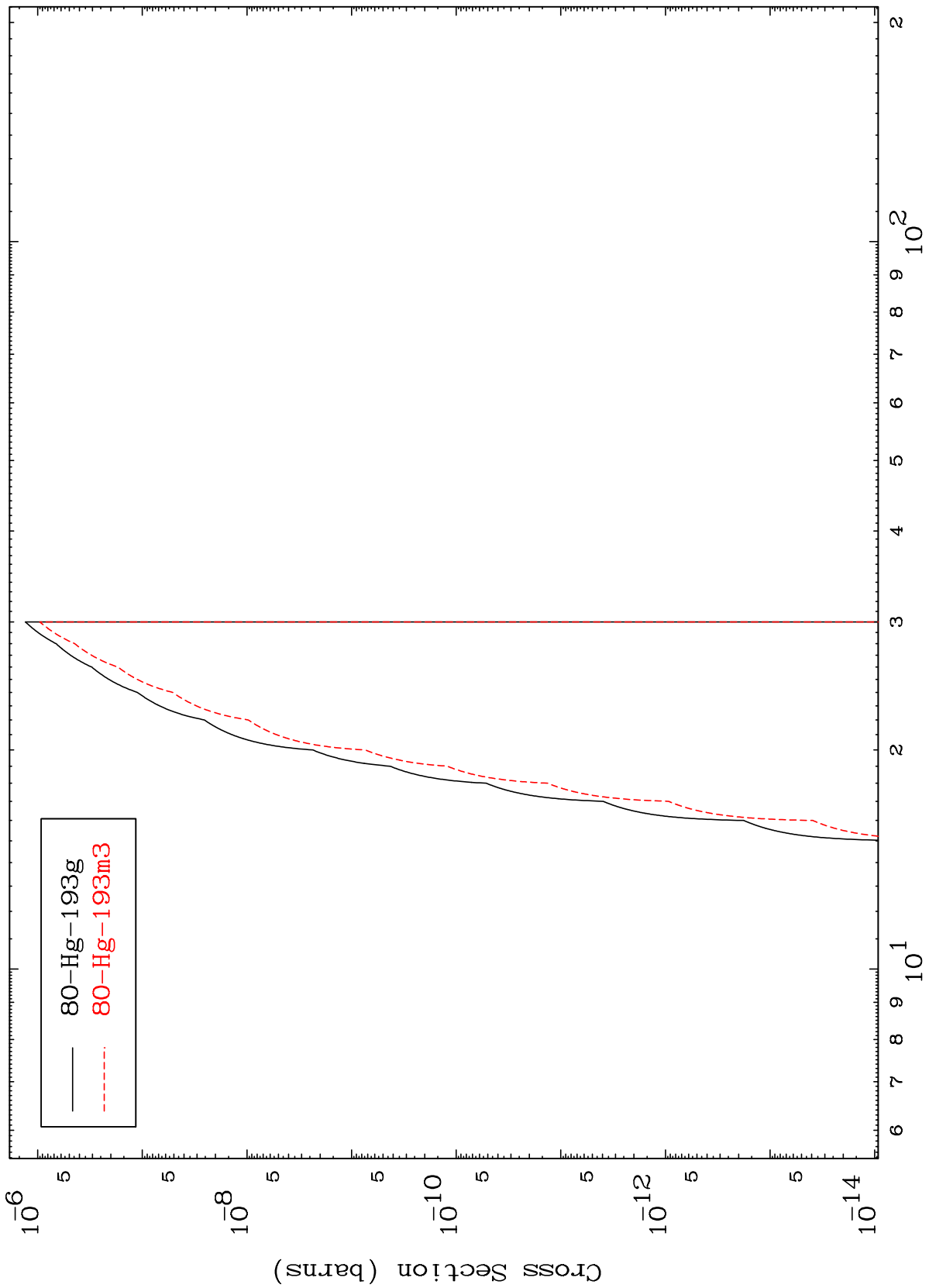
81-Tl-195

MAT 8102

(d,p) t

81-Tl-195

Radionuclide Production Cross Section



80-Hg-193g  
80-Hg-193m3

Incident Energy (MeV)

81-Tl-195

31

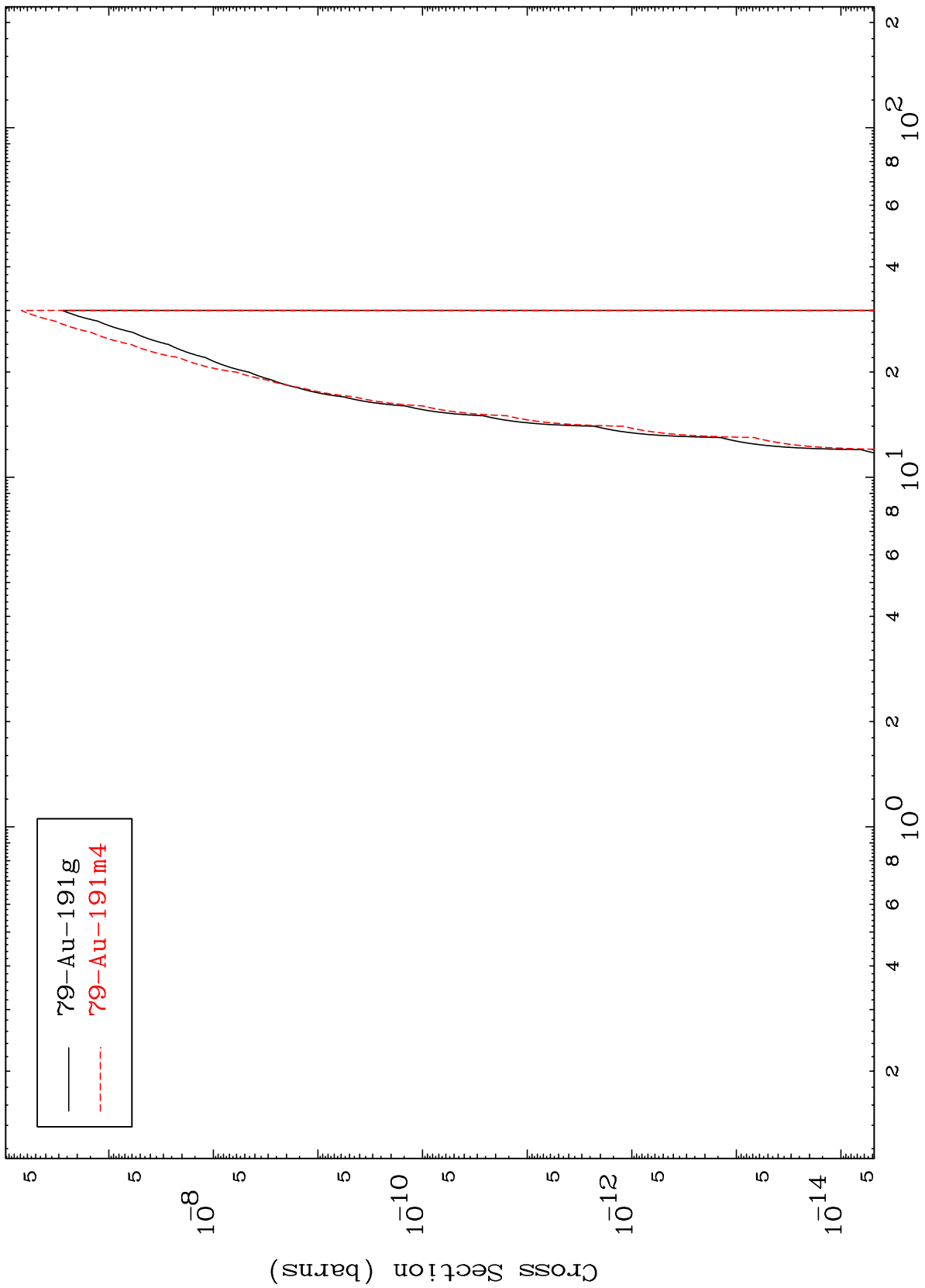


MAT 8102

(d,d)  $\alpha$

81-Tl-195

Radionuclide Production Cross Section



32

Incident Energy (MeV)

81-Tl-195